



UNIVERSIDAD NACIONAL AUTONOMA DE MEXICO

U. N. A. M.

FACULTAD DE ESTUDIOS

SUPERIORES

CUAUTITLAN

FACULTAD DE ESTUDIOS SUPERIORES

CUAUTITLAN



Departamento de
Estudios Profesionales

ANALISIS TERMICO EN UNA TORRE DE
ENFRIAMIENTO DE TIPO MECANICO, TIRO
INDUCIDO A CONTRAFLUJO

T E S I S

QUE PARA OBTENER EL TITULO DE:

INGENIERA QUIMICA

P R E S E N T A :

GABRIELA GARCIA MANZO

ASESOR: I.Q. GILBERTO A. AMAYA VENTURA

CUAUTITLAN IZCALLI, EDO. DE MEX.

2001

TESIS CON
FALLA DE ORIGEN



UNAM – Dirección General de Bibliotecas

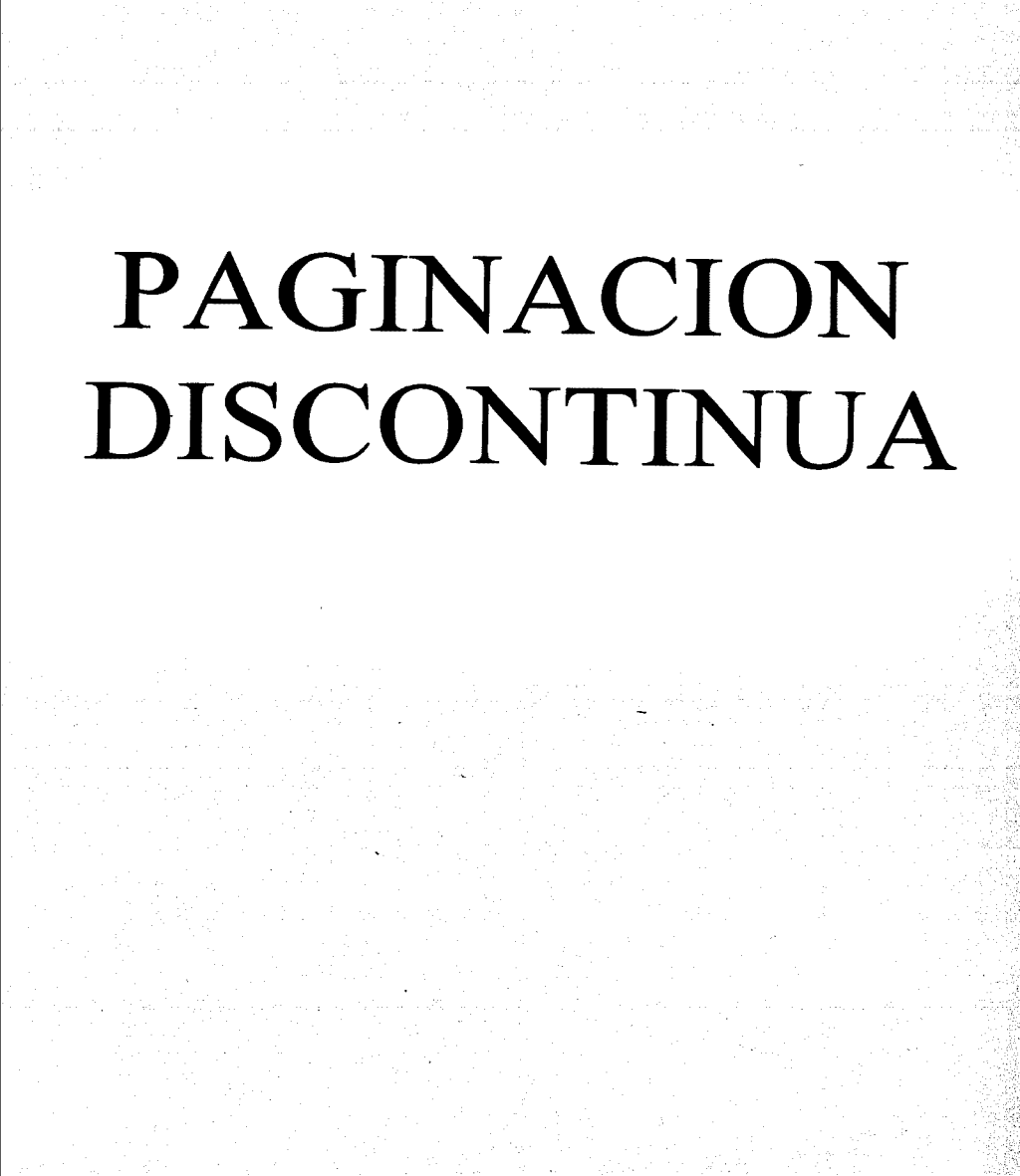
Tesis Digitales
Restricciones de uso

DERECHOS RESERVADOS ©
PROHIBIDA SU REPRODUCCIÓN TOTAL O PARCIAL

Todo el material contenido en esta tesis está protegido por la Ley Federal del Derecho de Autor (LFDA) de los Estados Unidos Mexicanos (Méjico).

El uso de imágenes, fragmentos de videos, y demás material que sea objeto de protección de los derechos de autor, será exclusivamente para fines educativos e informativos y deberá citar la fuente donde la obtuvo mencionando el autor o autores. Cualquier uso distinto como el lucro, reproducción, edición o modificación, será perseguido y sancionado por el respectivo titular de los Derechos de Autor.

PAGINACION DISCONTINUA





FACULTAD DE ESTUDIOS SUPERIORES CUAUTITLÁN
UNIDAD DE LA ADMINISTRACIÓN ESCOLAR
DEPARTAMENTO DE EXAMENES PROFESIONALES

ASUNTO: VOTOS APROBATORIOS

UNIVERSIDAD NACIONAL
AUTÓNOMA DE MÉXICO
CAMPUS CUAUTITLÁN

DR. JUAN ANTONIO MONTARAZ CRESPO
DIRECTOR DE LA FES CUAUTITLÁN
P R E S E N T E

ATN: Q. Ma. del Carmen García Mijares
Jefe del Departamento de Exámenes
Profesionales de la FES Cuautitlán

Con base en el art. 28 del Reglamento General de Exámenes, nos permitimos comunicar a usted que revisamos la TESIS:

"Análisis térmico en una torre de enfriamiento de tipo
mecánico, tiro inducido a contrarreflujo"

que presenta la pasante: Gabriela García Manzo
con número de cuenta: 8710118-0 para obtener el título de :
Ing. Química

Considerando que dicho trabajo reúne los requisitos necesarios para ser discutido en el EXAMEN PROFESIONAL correspondiente, otorgamos nuestro VOTO APROBATORIO.

A T E N T A M E N T E

"POR MI RAZA HABLARA EL ESPÍRITU"

Cuautitlán Izcalli, Méx. a 18 de Septiembre de 2000.

PRESIDENTE	<u>I.Q.M. Rafael Sampero Morales</u>	<u>R. Sampero</u>
VOCAL	<u>I.Q. Graciela Delvaldillo García</u>	<u>G. Delvaldillo</u>
SECRETARIO	<u>I.Q. Gilberto A. Amaya Ventura</u>	<u>G. Amaya</u>
PRIMER SUPLENTE	<u>C. Celestino Silva Escalona</u>	<u>C. Silva</u>
SEGUNDO SUPLENTE	<u>I.A. Ana M. Boto Bautista</u>	<u>S. Boto</u>

DEDICATORIAS:

A mi papá: Luis García Garibay

A mi mamá: Etelvina Manzo Lépiz

A mis hermanos: Carlos García Manzo

Ma. Elena García Manzo

Luis A. García Manzo

Cuauhtemoc García Manzo

Aarón E. García Manzo

Por su apoyo, cariño y comprensión durante todo este tiempo. Gracias familia

AGRADECIMIENTOS:

A Dios por estar siempre conmigo. Gracias

Por su apoyo y por compartir sus conocimientos e información para la realización de esta
tesis:

Ing. Francisco J. Azcoitia M.

Ing. Humberto Canales Mena

Ing. J. Hector García Magaña

Ing. Salvador Flores de la Vega

Ing. Enrique Figueroa Suárez

Ing. Jaime Barcena López

Ing. Efraín Pompa Rodríguez

Ing. Martín E. Zavala Gómez

Ing. Manuel Zavala Romero

Ing. David A. Gordillo Santiago

Ing. E. Maximiliano Audelo Méndez

Ing. Arturo Campos Morales

Ing. T. Arturo Mendoza Pérez

...Gracias.

A mis sinodales en especial a mi profesor y amigo Ing. Gilberto A. Amaya Ventura.
Gracias por tu apoyo incondicional

ÍNDICE

PAG.

INTRODUCCIÓN

iv

OBJETIVO

vii

CAPÍTULO I: FUNDAMENTOS DE LAS TORRES DE ENFRIAMIENTO.

I.1	La termodinámica de las torres de enfriamiento.	1
I.2	Clasificación de las torres de enfriamiento.	3
I.3	Descripción general de las torres de enfriamiento.	10
I.4	Condiciones de diseño.	26

CAPÍTULO II: PSICROMETRÍA

II.1	Concepto de diseño térmico.	27
II.1 a)	La torre de enfriamiento.	
II.1 b)	Energía térmica, entalpía y calor específico.	
II.1 c)	Interrelación de entalpía para la mezcla aire-vapor.	
II.2	la carta psicrométrica.	32

CAPÍTULO III: TEORÍA DE MERKEL

III.1	Importancia del cociente L/G.	36
-------	-------------------------------	----

i

III.2 Derivación de la ecuación de Merkel.	37
III.3 Ecuación de balance de energía en la torre de enfriamiento.	48
III.4 Cálculo del número de Merkel.	49

CAPITULO IV: ANÁLISIS TÉRMICO EN LA TORRE DE ENFRIAMIENTO

IV.1 Curva característica de la torre	54
IV.2 Ecuación característica del comportamiento térmico del relleno.	59
IV.3 Efectos del factor de escala.	60
IV.4 Determinación del punto de diseño en la curva característica.	61
Ejemplo 1	62
Ejemplo 2	68
Ejemplo 3	75
IV.5 Análisis térmico en una torre de enfriamiento de tipo mecánico, tiro inducido a contraflujo	99
IV.5.1 Cálculos preliminares.	100
IV.5.2 El valor de L/G requerido.	101
IV.5.3 Cálculo de las propiedades psicrométricas.	103
IV.5.4 Cálculo de la presión estática total.	104
IV.5.5 Cálculo de la potencia.	107
IV.6 Análisis del tiro inducido por el ventilador.	109
IV.6.1 Importancia de la geometría del ventilador.	
IV.7 Hidráulica en la torre de enfriamiento.	111

CONCLUSIONES	113
BIBLIOGRAFÍA	114
ANEXOS	
A. Carta psicrométrica.	117
B. Gráfica de la densidad del aire seco.	118
C. Gráfica de la densidad del vapor.	119
D. Propiedades del aire saturado.	120
E. Tabla: Entalpía de la mezcla aire saturado-vapor de agua a 29.921 in Hg.	121
F. Tabla: Entalpía de la mezcla aire saturado-vapor de agua a varias altitudes.	124
G. Tabla: Densidad de la mezcla aire saturado-vapor de agua a 29.921 in Hg.	127
H. Tabla: Densidad de la mezcla aire saturado-vapor agua a varias altitudes.	128
I. Tabla: Volumen específico de la mezcla aire saturado-vapor de agua a 29.921 in Hg.	131
J. Tabla: Volumen específico de la mezcla aire saturado-vapor de agua a varias altitudes.	132
K. Tabla: Vapor de agua contenido en la mezcla aire saturado-vapor de agua al nivel del mar.	135
L. Tabla: Vapor de agua contenido en la mezcla aire saturado-vapor de agua a varias altitudes.	138

INTRODUCCIÓN

En la actualidad es importante que toda industria en general cuente con sistemas de servicios auxiliares que proporcionen un uso racional y eficiente de un elemento de vital importancia como lo es el agua. En este aspecto, las torres de enfriamiento constituyen un elemento fundamental en la mayoría de los procesos industriales; por esta razón los fabricantes de torres de enfriamiento han desarrollado diferentes diseños y modelos, los cuales representan una baja inversión inicial; además su mínimo mantenimiento, su eficiente funcionamiento y consecuente ahorro de espacio, permite ubicarlas en una pequeña área dentro de sus instalaciones.

Una de las principales necesidades en la industria es la de enfriar cualquier tipo de fluido que así lo requiera en un proceso determinado para lograr que el producto sea obtenido en las condiciones óptimas de manejo, almacenamiento y distribución. Esta operación se realiza normalmente en los intercambiadores de calor, en los cuales se emplea agua como medio de enfriamiento.

Debido a que el agua es un recurso natural cada vez más escaso y la calidad no siempre es la deseada, se hace necesario enfriarla y tratarla para su mejor aprovechamiento y manejo, creando con esto la necesidad de emplear torres de enfriamiento como servicio auxiliar, de acuerdo a las características del proceso.

El servicio que proporciona una torre de enfriamiento es el de suministrar el agua de enfriamiento necesaria en condensadores, cambiadores de calor y otros equipos de proceso.

Invariablemente las torres de enfriamiento se rigen por un mismo mecanismo de operación, el cual consiste en poner en contacto directo una corriente de agua caliente con una de aire frío. El íntimo contacto de estas dos corrientes da lugar a una transferencia de calor y masa en forma simultánea, dando como resultado la disminución en la temperatura del agua.

En el presente trabajo se describe el análisis térmico de las Torres de Enfriamiento, el cual ha sido redactado para los practicantes de ingeniería con el propósito de incrementar su experiencia técnica en el área de análisis y evaluación del funcionamiento térmico de este tipo de equipos industriales.

En la primera parte de este trabajo se repasan los fundamentos y aspectos teóricos del funcionamiento de las torres de enfriamiento. La termodinámica del funcionamiento de dichas torres es un tema aparentemente muy complejo, el bosquejo teórico que se aplica es poco usual, de manera que puede ser controversial y algunas veces mal entendido. Por lo que, para evitar ambigüedades, se presenta este marco teórico conceptual. En dicho marco teórico se desarrollan los balances simultáneos de materia y energía hasta llegar a la ecuación de Merkel, una integral que puede ser resulta por el método de Tchevicheff o en forma gráfica que es el que se explica más ampliamente en este trabajo. La resolución de dicha ecuación permite evaluar los parámetros del diseño térmico (aproximación, rango, las relaciones L/G y KaV/L).

El resto de este trabajo cubrirá el tema del análisis del comportamiento térmico de las torres de enfriamiento. La atención será enfocada hacia la exposición de los métodos analíticos para el cálculo de los requerimientos de flujo de aire, caídas de presión del lado del aire, dimensiones de las torres de enfriamiento de tiro mecánico y la potencia del motor del ventilador, todos ellos, necesarios para alcanzar una utilidad específica del servicio de enfriamiento.

Los problemas que surgen por un mal diseño térmico de las torres de enfriamiento son demasiado comunes y extremadamente costosos en términos del desperdicio de energía eléctrica (megawatts) y del incremento de los costos de operación. En el transcurso de este trabajo se discutirán algunas de las causas que provocan problemas en el funcionamiento de las torres de enfriamiento, y se verá como pueden evitarse los problemas potenciales tomando decisiones basadas en un buen juicio de ingeniería soportadas por un análisis matemático, preferentemente en lugar de suposiciones o recomendaciones no objetivas.

OBJETIVO:

- Analizar el comportamiento térmico en una torre de enfriamiento de tipo mecánico de tiro inducido, mediante la aplicación de un método gráfico de resolución de la integral de Merkel que permite evaluar las condiciones de diseño térmico, la relación líquido-gas (L/G) y la relación característica de la torre ($K_a V/L$); calcular, además, las caídas de presión, dimensiones de la torre y la potencia del motor en el ventilador.

CAPÍTULO I

FUNDAMENTOS DE LAS TORRES DE ENFRIAMIENTO

I.1 LA TERMODINÁMICA DE LAS TORRES DE ENFRIAMIENTO

El modelo matemático de los procesos de transporte de energía que ocurren en el interior de una torre de enfriamiento es mucho más complicado que la modelación de transferencia de calor en la mayoría de los otros equipos. Esto es debido a que en el análisis de las torres de enfriamiento se debe tomar en cuenta la transferencia simultánea de calor y masa (transferencia de calor sensible y latente), los dos procesos no pueden ser cuantificados independientemente. El efecto de acoplamiento que existe en los procesos simultáneos de transferencia de calor y masa que involucran sistemas de aire vapor, es conocido en la literatura como termo-difusión o efecto Soret. En términos simples la transferencia de energía involucra la transferencia simultánea de calor debido a las diferencias de temperatura entre agua-aire y la transferencia de calor debido a la evaporación del agua que pasa a través de la torre.

Típicamente el 80 % de la transferencia de energía se lleva a cabo por el mecanismo de evaporación. Es tarea difícil del diseñador de torres de enfriamiento predecir y garantizar una carga térmica dada y los niveles de temperatura a los cuales ocurre este proceso. Esto no es muy distinto a modelar los procesos térmicos que ocurren en una tormenta violenta. ¿Cómo estimar, por ejemplo, el valor del área superficial entre el aire y las gotas de agua que debe utilizarse en el cálculo de las velocidades de transferencia de calor en las torres de enfriamiento?

Las torres de enfriamiento son físicamente muy simples. todas las torres de enfriamiento evaporativas convencionales incluyen: ⁽¹⁾

- a) Tubería que transporta agua hasta cierta elevación donde es distribuida sobre una área plana fija.
- b) Boquillas que esprean el agua en forma de gotas
- c) Material de relleno que incrementa el área interfacial y los tiempos de contacto entre las cascadas de agua y la corriente de aire de enfriamiento.
- d) Un medio para hacer fluir aire ambiental a través de la torre (un ventilador o un sistema de tiro natural)
- e) Eliminadores de rocío que limitan la cantidad de agua que se pierde a través del punto de descarga del aire en la torre de enfriamiento.
- f) Un colector de agua fría
- g) Una estructura que soporta todo lo anterior.

Todos los componentes anteriores son fundamentales en una torre de enfriamiento, consecuentemente una persona con experiencia que conozca como construir una estructura de madera o concreto puede construir esencialmente una torre de enfriamiento.

Pero para diseñar una pequeña torre o una mediana que alcance la versatilidad del diseño térmico, el diseñador debe poseer una enorme cantidad de información acerca de la energía térmica y la caída de presión que solamente puede ser generada por medición en campo de los

parámetros térmicos y barométricos después de muchos años de operación de las torres de enfriamiento.

Un diseñador de torres de enfriamiento inexperto por lo tanto deberá ser conservativo en sus primeros diseños "a ciegas" de torres de enfriamiento.

I.2 CLASIFICACIÓN DE LAS TORRES DE ENFRIAMIENTO

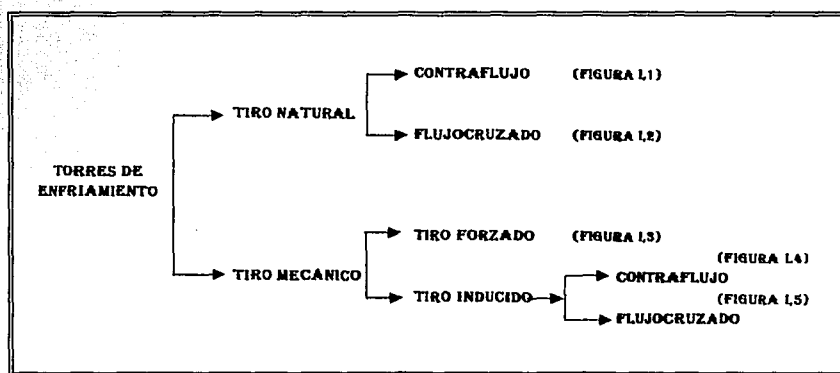
Las torres de enfriamiento son normalmente clasificadas de acuerdo al cuadro I.1. Tenemos de tipo mecánico o natural, contraflujo o flujo cruzado. Los diseños de torres de enfriamiento que emplean ventiladores para hacer fluir aire son denominados diseños de "tiro mecánico", mientras que las torres que se basan en el efecto chimenea para el movimiento del aire se conocen como torres de enfriamiento de tiro natural, figura I.1. Los diseños de tiro mecánico y natural pueden emplearse para arreglos de empaque a contraflujo o flujo cruzado. En las torres de contraflujo el aire fluye a contra corriente, es decir, el agua cae hacia abajo y el aire fluye hacia arriba mientras que en las torres de flujo cruzado el agua fluye hacia abajo mientras que el aire frío atraviesa una trayectoria horizontal a través de relleno.

Una torre de tipo mecánico de tiro forzado es aquella donde los ventiladores están localizados en la entrada del aire de la torre, empujando aire ambiental a través del material de relleno, figura I.4. Una torre de tipo mecánico "de tiro inducido" es aquella donde los

ventiladores están localizados en la salida de aire succionando aire saturado a través de la torre de enfriamiento, figura I.5 y I.6.⁽⁴⁾

El tipo de torres de enfriamiento para una planta de potencia que requiere la menor cantidad de energía eléctrica para su operación normal es el diseño de tiro natural a contraflujo. En general cuando el consumo de energía eléctrica de los ventiladores y las bombas es una consideración importante, los diseños a contraflujo normalmente sobresalen frente a los diseños de flujo cruzado. Dicha situación económica da lugar a que la industria de generación de potencia favorezca los diseños de tiro mecánico a contraflujo.

CUADRO I.1. TIPOS DE TORRES DE ENFRIAMIENTO



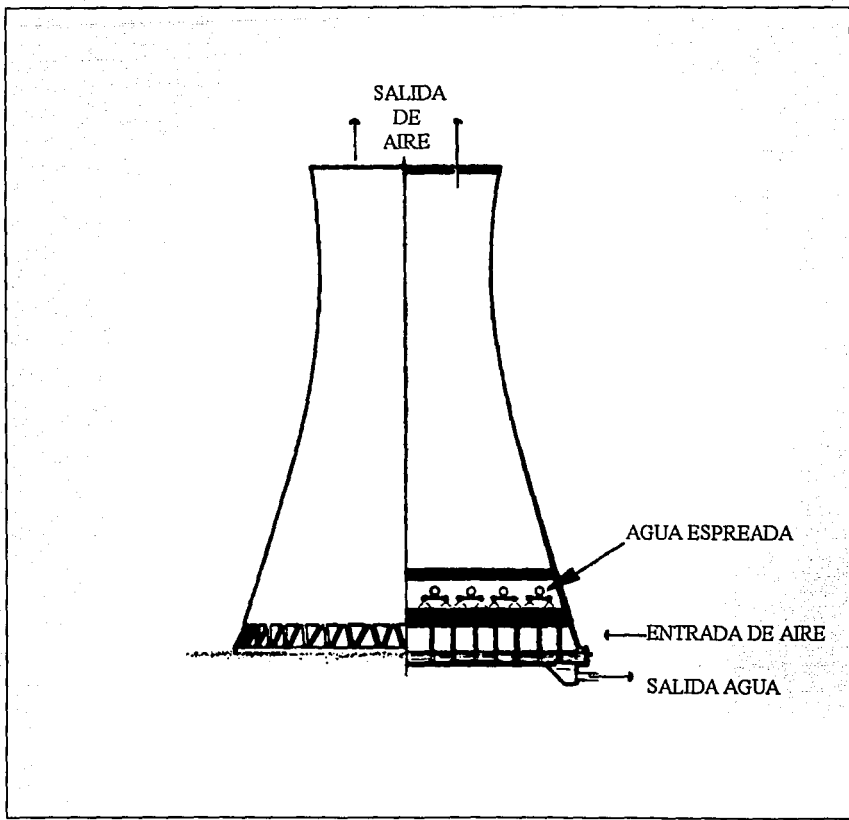


FIGURA I.1 TORRE DE ENFRIAMIENTO DE TIRO NATURAL A CONTRAFLUJO

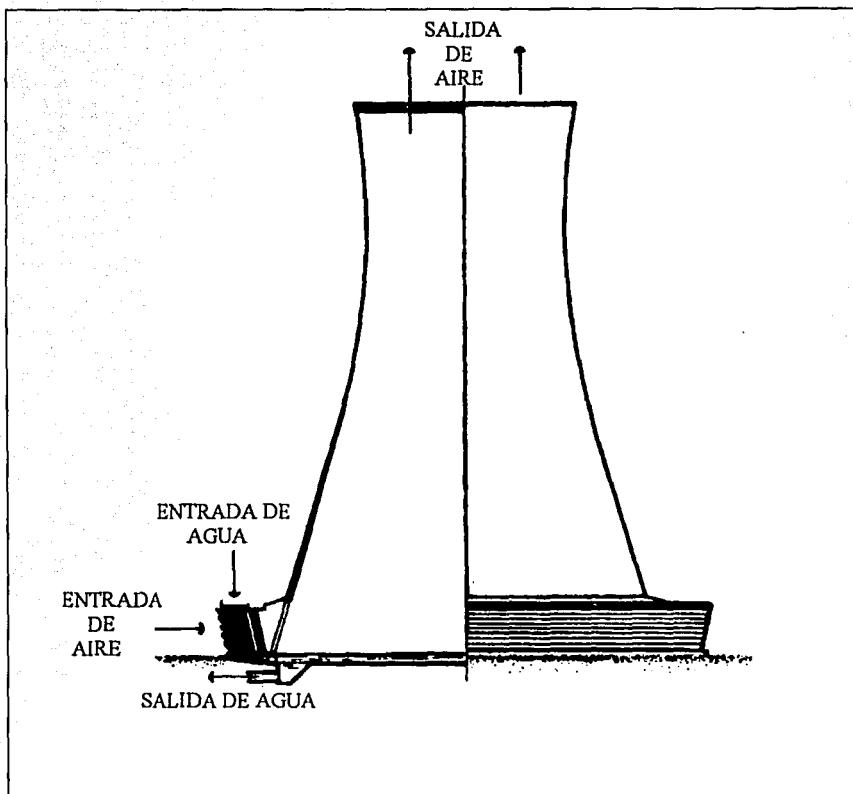


FIGURA I.2 TORRE DE ENFRIAMIENTO DE TIRO NATURAL FLUJO CRUZADO

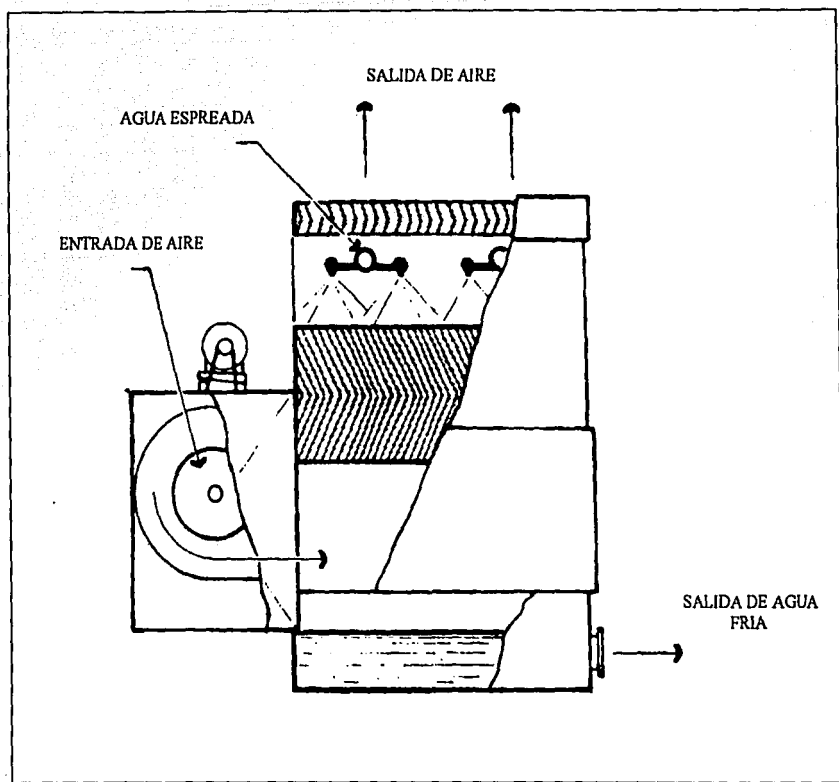


FIGURA I.3 TORRE DE ENFRIAMIENTO TIPO MECÁNICO DE TIRO FORZADO A CONTRAFLUJO

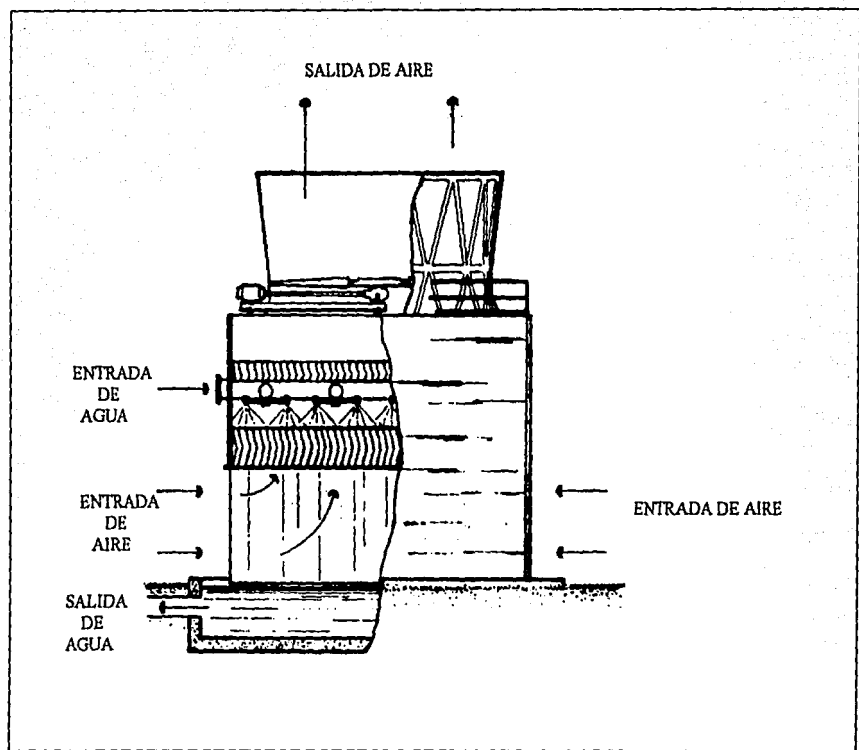
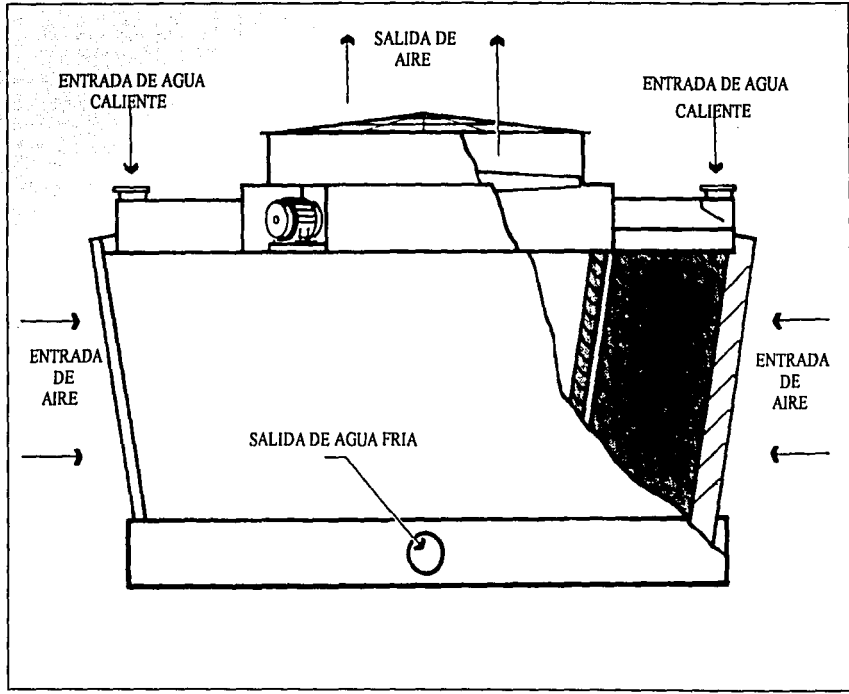


FIGURA 1.4 TORRE DE ENFRIAMIENTO TIPO MECÁNICO DE TIRO INDUCIDO A CONTRAFLUJO



**FIGURA I.5 TORRE DE ENFRIAMIENTO TIPO MECÁNICO DE TIRO INDUCIDO
FLUJO CRUZADO**

I.3 DESCRIPCIÓN GENERAL DE LAS TORRES DE ENFRIAMIENTO

Las torres de enfriamiento se basan en la transferencia de calor y masa por medio de evaporación de agua en el aire para enfriarla. Su forma de operar puede ser a contracorriente o a flujo cruzado, con el aire entrando a un lado de la columna y fluyendo en forma horizontal. El agua caliente cae en cascada a través del empaque donde entra en contacto con el aire.

Se ha mencionado que las torres de enfriamiento convencionales incluyen un sistema de distribución, un material de relleno, eliminadores de rocío, etc. Aquí describiremos estos componentes en mas detalle, figura. I.6 y I.7 ⁽⁴⁾

- **Estructura:**

Generalmente la estructura de las torres de enfriamiento se construyen con materiales de madera tratada o perfiles de fibra de vidrio y concreto, utilizando para su ensamblaje tornillería de acero galvanizado o acero inoxidable.

- **Sistema de distribución de agua:**

El sistema de distribución de agua es la parte de la torre donde se distribuye el agua sobre la superficie del relleno e incluye:

- Tubería del cabezal de entrada: corresponde a la tubería en el nivel mas bajo de elevación que interconecta con las tuberías de ascenso.
- Tuberías de ascenso: estas tuberías transportan el flujo de agua hacia arriba rumbo al sistema de distribución.

- Cabezal de distribución: estos conductos forman las arterias principales del sistema de circulación del agua, llevando el agua hasta las tuberías de ascenso horizontalmente a través de la área plana de la torre. Los cabezales de distribución pueden ser tuberías cerradas o canales abiertos.
- Tubería lateral: estas tuberías alimentan los cabezales de distribución y distribuyen agua a todas las partes del área plana de la torre de enfriamiento. Las torres de enfriamiento de flujo cruzado utilizan vasijas de distribución de agua caliente en lugar de tuberías laterales para repartir el agua en el relleno.
- Boquillas: las boquillas actúan como el punto de descarga del agua proveniente del sistema de distribución. Alguno diseños de boquillas inyectan agua en la forma de un fino espreado o pequeñas gotas a alta presión. Las torres de enfriamiento modernas emplean grandes orificios, típicamente de 1" de diámetro o más; o conos de descarga de baja presión sobre los que se encuentran adheridas placas de rocío con algún diseño geométrico para la formación de gotas.

- **Eliminadores de rocío.-**

Una gran cantidad de agua se descarga desde los puertos de salida del aire. la mayor parte de esta agua se libera en forma de partículas de vapor con diámetros de 20 micrones o menos. El número de las partículas más grandes descargados desde la torre se puede minimizar por el uso de eliminadores de rocío.

El propósito de los eliminadores de rocío es proporcionar una barrera mecánica para evitar que las gotas de agua escapen de la torre. Esto se lleva a cabo forzando a la corriente de aire a

cambiar de dirección dos o más veces en rápida sucesión. En el curso de los cambios súbitos del flujo de aire, el momentum de las gotas de agua más grande provoca que las gotas se impregnen sobre la superficie sinusoidal del eliminador de rocío, donde el agua es llevada por gravedad de regreso a la zona de espreo. Hay dos tipos de emisiones en una torre de enfriamiento:

- Humedad visible o invisible que es producto de la evaporación, el principal principio de enfriamiento.
- Gotas de agua.

Hay muchos tipos y formas de eliminadores de rocío, dependiendo de la ingeniosidad y conocimiento del diseñador.

El tipo de eliminadores de rocío de tableta de madera mostrado en la figura I.8 fue desarrollado hace mas de 70 años y todavía se utilizan. Funciona por el cambio direccional en el vapor de agua, habiendo una pérdida de energía cinética cada vez que se cambia la dirección. (3)

Este tipo de eliminadores de rocío desarrolla pérdidas de presión estática, ocasionando un comportamiento de casi 0.5°F de mas respecto a la temperatura de salida del agua, lo cual no es recomendable.

El eliminador de tipo celular mostrado en la figura I.9 es un ejemplo de un estado del arte de diseñar suavemente, el diseño del eliminador cambia la dirección del aire 6 veces con una distancia de recorrido de 6", su aplicación es para torres de enfriamiento de contraflujo y flujo cruzado.

La baja caída de presión estática de diseño mejorará el comportamiento de la torre ahorrando 0.5 °F cuando se instala en forma profesional y reducirá la emisión de rocío por goteo, haciéndola casi nula.

Con los eliminadores de rocío se previenen excesivas pérdidas por arrastre a la atmósfera, su función es de recoger o retener las gotas de agua arrastradas por la corriente de aire de salida.

La selección del eliminador de rocío está basada en:

1. La velocidad del aire en pies por minuto.
2. Las curvas de comportamiento certificadas por el fabricante.

Para calcular la velocidad del aire se utiliza la siguiente ecuación:

$$\text{velocidad} \left(\frac{\text{ft}}{\text{min}} \right) = \frac{\text{volumen de aire} \left(\frac{\text{ft}}{\text{min}} \right)}{\text{area de plenum} \left(\frac{\text{ft}^2}{\text{ft}^2} \right)}$$

Checando, por supuesto que la selección sea mayor que la velocidad calculada.

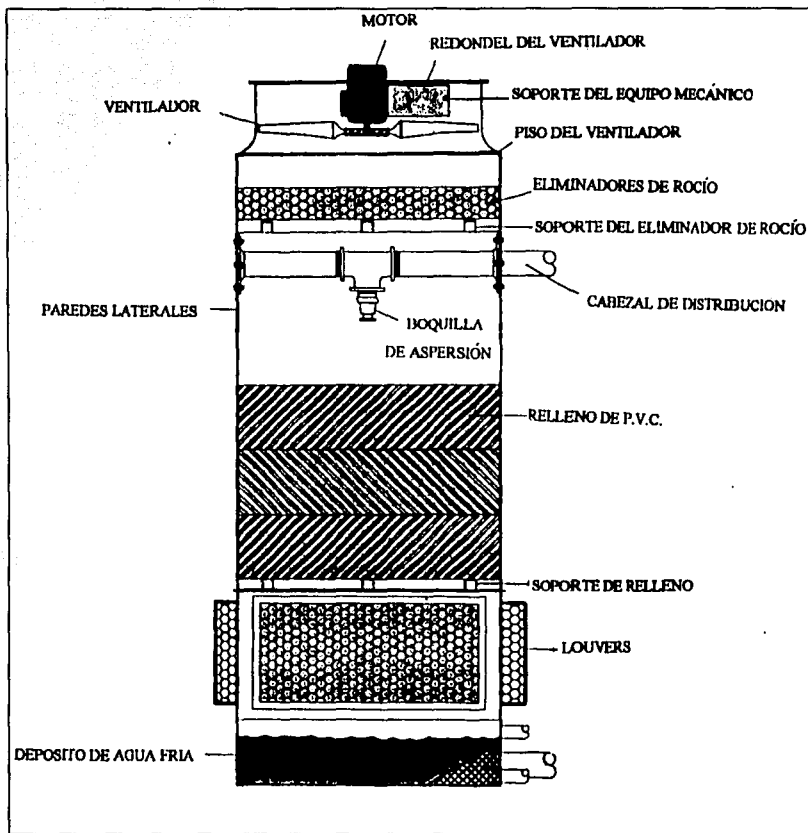


FIGURA I.6 COMPONENTES PRINCIPALES DE UNA TORRE DE ENFRIAMIENTO TIPO MECÁNICO DE TIRO INDUCIDO A CONTRAFLUJO

TESIS CON
FALLA DE ORIGEN

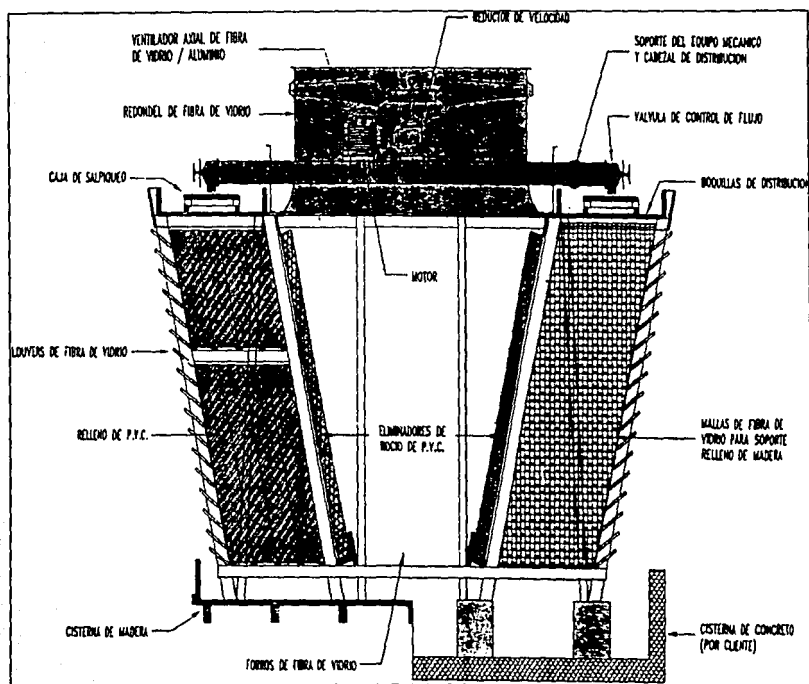


FIGURA 1.7 COMPONENTES PRINCIPALES DE UNA TORRE DE ENFRIAMIENTO TIPO MECÁNICO DE TIRO INDUCIDO FLUJO CRUZADO

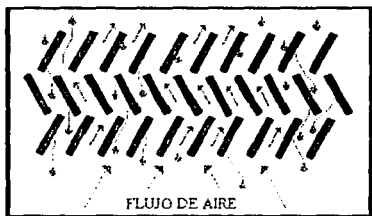


FIGURA I.8. ELIMINADOR DE ROCÍO TIPO TABLETA.

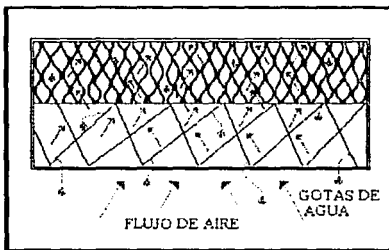


FIGURA I.9. ELIMINADOR DE ROCÍO TIPO CELULAR.

- **Relleno**

El propósito del relleno es extender el tiempo de contacto entre el agua caliente y el aire frío para maximizar el intercambio de calor sensible y el enfriamiento evaporativo dentro de la torre de enfriamiento. En este accesorio es donde se efectúa el intercambio térmico entre la mezcla aire-agua.

La primera torre de enfriamiento rellena que se puso en servicio no tenía más que tres ramales aleatoriamente apilados en una torre de enfriamiento de tiro natural de madera rectangular.

Hay diferentes tipos y formas de relleno, dependiendo de la ingeniosidad y conocimiento del diseñador, los más comunes son:

- Salpiqueo (Splash filling). - son placas de dimensiones y formas diferentes, en las cuales las gotas de agua se irán rompiendo en forma descendente, para que en su caída cedan su calor al aire con el cual se cruzan.

La figura I.10 muestra el diseño de una barra de madera de salpiqueo, la cual fue introducida por primera vez hace mas de 70 años. ⁽³⁾

No obstante que el sistema de barras de salpiqueo de madera todavía es usado en la actualidad, el diseño está limitado en efectividad por el hecho que las gotas de agua solamente son enfriadas en la superficie exterior, dejando calor residual en su interior.

Si las gotas caen lo bastante lejos y la acción del ventilador para enfriarlas es suficiente, el enfriamiento alcanzado es el adecuado.

Entre los rellenos de tipo salpiqueo, el mas conocido es la barra " V " (conocida técnicamente como V-bar), instalada en forma paralela al flujo del aire. Figura I.11

El diseño de la barra "V" provee una mejora en el comportamiento por dos razones:

- 1.-Las perforaciones en forma romboidal generan un considerable número de gotas, las cuales son enfriadas por salpiqueo.
- 2.-La orientación paralela al flujo del aire crea eficiencia tipo película. Cuando una gota golpea el vértice de la barra invertida " V " se forma una película la cual es enfriada rápidamente por la corriente de aire.

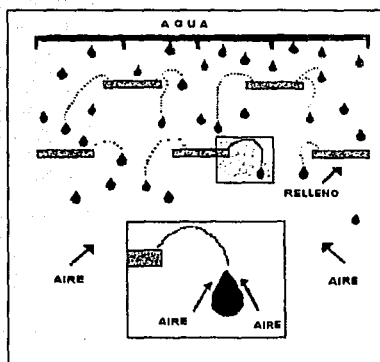


FIGURA I.10 RELLENO TIPO SALPIQUEO EN BARRA



FIGURA I.11 RELLENO TIPO SALPIQUEO DE BARRA V.

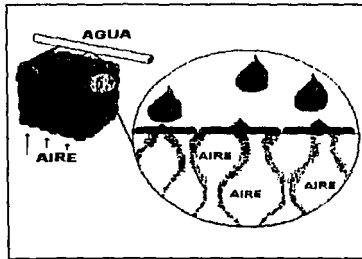


FIGURA I.12 RELLENO TIPO CELULAR.

- **Película (film filling).** - También conocido como relleno de PVC (policloruro de vinilo) tipo panal o celular de película, es una de las alternativas contemporáneas al relleno tradicional de barra de salpiqueo de madera.

Este relleno fue desarrollado en Suecia y popularizado en los Estados Unidos de Norte América en los años 60's. El relleno celular de película alcanza una máxima eficiencia debido al cambio del sistema de goteo por la formación de película que se efectúa dentro del mismo. Las corrientes de aire en ascenso enfrian la delgada película tan rápidamente como se forman las gotas de agua. Figura I.12 ⁽³⁾

Cuando se considera relleno celular para alguna aplicación, los siguientes factores deben de ser tomados en cuenta:

1. Tratamiento químico del agua
2. Investigar las temperaturas de deformación del PVC.
3. Evitar posible deterioro químico.
4. Considerar la calidad del agua.

El relleno tipo celular se caracteriza por presentar canalización del aire, tener ángulos opuestos en su configuración la que provee un contacto máximo entre el agua y el aire con una máxima eficiencia térmica, debido a esto tiene un Δp (caída de presión) mayor.

En torres de enfriamiento con mas de 20 ft de altura no es económicamente viable instalar relleno celular.

También, la carga de agua por pie cuadrado de relleno en una área plana es mayor y las celdas deben tener una buena inundación.

- Soporte del relleno.

Su única función es soportar en forma fija el relleno. Los tipos de soporte están en función del empaque o relleno que se va a emplear, en el relleno de salpiqueo es común emplear mallas de acero inoxidable y grapas del mismo material para fijar las tabletas de relleno a la malla, estas también pueden ser de acero inoxidable y fibra de vidrio. El soporte de tipo película es mucho más sencillo que el anterior.

Los rellenos tipo película generalmente son más eficientes que los del tipo rocío, requieren menor potencia de ventilación para un servicio de enfriamiento dado. Sin embargo, en aplicaciones donde hay alta posibilidad de incrustación debido a la formación de cristales o asentamientos de despojos del agua circulante, se prefiere normalmente los rellenos de tipo rocío.

- **Equipo Mecánico**

- **Motor eléctrico.**- Dispositivo que proporciona la fuerza para hacer girar el ventilador.
- **Ventilador.**- Dispositivo utilizado para inducir el flujo de aire a través de la torre de enfriamiento.

Los ventiladores son identificados como máquinas con relativa baja presión de descarga, los cuales mueven gases o vapores por medio de hojas rotatorias o impulsores y cambian la energía rotatoria mecánica en presión de trabajo sobre los gases o vapores. El resultado de este

trabajo en el fluido será en forma de energía de presión o energía de velocidad o alguna combinación de ambas.

La presión máxima de elevación desde la succión hasta la descarga a través de un ventilador es de una PSI. También hay ventiladores de servicio pesado disponible para 2 y hasta 3 PSI de elevación.

Los ventiladores y sopladores industriales son clasificados por la NAFM (NATIONAL ASSOCIATION FAN MANUFACTURES) de acuerdo a su presión de descarga.

Para los ventiladores de flujo axial utilizados en las torres de enfriamiento, se tienen tres tipos de arreglos:

1. Acoplamiento directo entre rodamiento y motor.
2. Acoplamiento entre rodamiento y motor por medio de poleas y bandas.
3. Acoplamiento directo entre rodamiento, reductor y motor.

Este tipo de ventiladores se fabrican en aluminio fundido y en fibra de vidrio

□ **Reductor.**- Un reductor de velocidad es una caja con engranes con cortes especiales el cual reduce la velocidad del sistema motriz del equipo, sin pérdida apreciable de potencia.

La AGMA (AMERICAN GEAR MANUFACTURES ASSOCIATION) clasifica los reductores de velocidad de acuerdo a la posición de la flecha, los podemos tener horizontales o verticales. Se emplean con mayor frecuencia los de ángulo recto debido a que tienen un diseño

especial para servicio en torres de enfriamiento. La relación máxima de reducción que deben tener los reductores de velocidad debe ser de 7:1, en caso de que la relación de reducción sea mayor se podrán usar reductores de velocidad de doble relación de reducción. Su factor de servicio debe ser 2. La caja del reductor de velocidad debe estar construida para trabajo pesado.

- **Louvers**

Por necesidad las torres de enfriamiento de flujo cruzado deben tener toma de aire o louvers. Su propósito principal es evitar el salpiqueo fuera de la torre, ya que las gotas de agua golpean al caer las tabletas de relleno y brincan hacia fuera.

Las torres a contraflujo fueron construidas con louvers debido a que los diseñadores pensaron que era necesario polarizar el aire de entrada y también evitar el salpiqueo.

Hoy en día, las torres de contraflujo modernas han eliminado los louvers para mejor flujo de aire, y con una placa de salpiqueo debidamente situada a 45° no hay salpiqueo.

La figura I.13 muestra los cambios radicales bruscos de la dirección del aire, las cuales crean una caída de presión estática que baja el comportamiento térmico. ⁽³⁾

- **Pileta De Recolección:**

Receptáculo debajo de la torre de enfriamiento para recoger el agua enfriada por la torre de enfriamiento.

- **Chimenea:**

Es la parte superior de la torre de enfriamiento, además de contener al ventilador permite descargar el aire a alta velocidad.

Generalmente se diseñan en dos tipos:

- Tipo cónico: tiene la característica de que el aire de salida pierde su velocidad de descarga, esta podría en un momento dado ocasionar una recirculación.
- Tipo venturi: se recomienda para alturas mayores de 8 ft (2.44 m) y en torres de capacidad mayor de 5,000 GPM (18,925 LPM), estas también son llamadas recuperadores de velocidad debido a que alcanzan a recuperar hasta un 25 % en la potencia de los motores de los ventiladores, originando por la forma de su construcción similar a un tubo venturi, donde se aumenta la velocidad cuando se varía la presión de descarga del aire. Figura I. 14. (3)

De acuerdo al teorema de Bernoulli, si se incrementa la velocidad de un fluido (aire), disminuye su presión, el diámetro restringido en el plano del ventilador causa que el aire incremente su velocidad, reduciendo la presión abajo e incrementando el volumen de aire efectivo.

También, el diámetro mayor de salida expande el aire extraído y alivia la presión contra la que los ventiladores operan. Los cálculos indican que se pueden obtener aproximadamente un 7% de incremento.

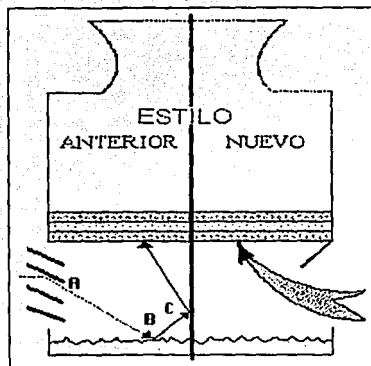


FIGURA I.13 CAMBIOS DE DIRECCIÓN OCASIONADOS POR LOS LOUVERS.

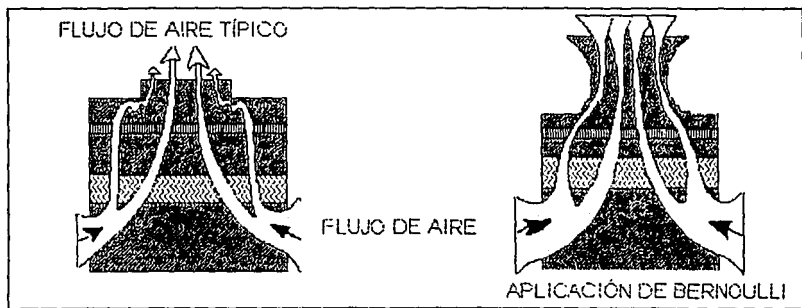


FIGURA I.14 EFECTOS DEL FLUJO DE AIRE EN LA CHIMENEA.

I.4 CONDICIONES DE DISEÑO

Para los propósitos presentes definiremos a la torre de enfriamiento funcionalmente como un dispositivo cuyo único propósito es reducir la temperatura de un gran volumen de flujo de agua. La torre de enfriamiento mas alta en el hemisferio occidental es una de tiro natural de 533 ft (162.5 m) de la planta nuclear Callaway cerca de Fulton Missouri, que está diseñada para enfriar 568,000 GPM (2,149,800 LPM), desde 123.6 °F a 95 °F (51 °C a 35 °C). Las condiciones de diseño térmico para una torre de enfriamiento pueden establecerse simplemente como:

- Un flujo volumétrico de agua.
 - Una temperatura de agua caliente.
 - Una temperatura de agua fría.
- y un punto de diseño de las propiedades de aire de entrada que incluyen:
- > La temperatura de bulbo húmedo
 - > Humedad relativa o temperatura de bulbo seco
 - > La presión barométrica.

A la diferencia de temperatura entre agua fría y caliente se le ha denominado rango de enfriamiento. La diferencia de temperatura de enfriamiento y temperatura de bulbo húmedo se le denomina acercamiento de temperatura o simplemente, aproximación (approach). Una torre de enfriamiento de agua de tamaño infinito es capaz de producir una temperatura de enfriamiento del agua igual a la temperatura de bulbo húmedo de la corriente de aire de entrada. Sin embargo dichas torres de dimensión física infinita no serían posibles y debe haber un tamaño óptimo económico. Es costumbre establecer el punto de diseño de la temperatura del agua fría unos cuantos grados más alta que el punto de diseño de la temperatura de bulbo húmedo. Un acercamiento de 12 °F o 16 °F se considera como nominal para torres de enfriamiento para plantas de potencia. Temperaturas de acercamiento de 5-9 °F se consideran como muy estrechas. Mientras más cerrado es el acercamiento más grande es la torre de enfriamiento. Debemos darnos cuenta que a pesar de que un diseño para un acercamiento de 14 °F es ligeramente más grande que un diseño para un acercamiento de 15 °F, un diseño de 5 °F de acercamiento es mucho más grande que uno de 6 °F.

CAPÍTULO II

PSICROMETRÍA:

II.1 CONCEPTO DE DISEÑO TÉRMICO

II.1 a) LA TORRE DE ENFRIAMIENTO

La torre de enfriamiento es un dispositivo de remoción de pérdidas de calor. Como se ha establecido previamente el único propósito de las torres de enfriamiento es reducir la temperatura de un gran volumen de una corriente de agua. Generalizaremos esta definición para incluir la aseveración fundamental de que la torre de enfriamiento es un dispositivo en el que se recuperan grandes cantidades de energía térmica de un gran volumen de corriente de agua caliente.⁽¹⁾

II.1 b). ENERGÍA TÉRMICA, ENTALPIA Y CALOR ESPECÍFICO.

Con el fin de describir el transporte del calor retirado desde la torre de enfriamiento hacia la atmósfera circundante en términos cuantitativos, es importante tener un firme concepto de la energía térmica y saber como determinar el contenido de energía térmica del aire circundante antes de la adición de esta energía retirada.

Empezaremos con un repaso de la psicrometría básica, la termodinámica de los sistemas de mezcla de vapor-aire-agua.

El método mas adecuado que se tiene para medir el contenido de energía térmica (la rapidez del movimiento molecular) es a través del uso de un termómetro de mercurio en vidrio, es decir, la temperatura es una medida directa de la rapidez del movimiento molecular. Consideraremos la definición de la unidad térmica británica (Btu), es decir, la cantidad de energía térmica requerida para elevar la temperatura de una libra de moléculas de agua líquida en 1 °F (17 °C), después tomaremos un punto de referencia que permita medidas comparativas del contenido de energía térmica de un material a una temperatura dada. El contenido de energía térmica de una masa dada, expresada en unidades de Btu/lb, es denominado, en la literatura de la termodinámica, el calor específico de la masa. La palabra específico es usualmente utilizada en la práctica para referirse a propiedades intensivas. Obviamente, la entalpía de una masa es directamente proporcional a la temperatura de la masa. La rapidez de cambio de entalpía de una sustancia dada con la temperatura a presión constante, es denominado "*calor específico*" de la sustancia. Esto se expresa típicamente como sigue:

$$C_p = dh/dt$$

Donde:

h: es el símbolo convencional de la entalpía (contenido energético)

t: es la temperatura en °F.

C_p: es el calor específico en Btu/lb °F.

En virtud de esta definición de los Btu (unidad térmica británica), el calor específico del agua líquida es de 1.0 Btu/lb °F (4.187×10^3 J/Kg °K). ⁽¹⁷⁾

II.1 c) INTERRELACIÓN DE ENTALPIA PARA LA MEZCLA AIRE-VAPOR.

El aire atmosférico que entra a la torre de enfriamiento a través del aire de entrada es realmente una mezcla de aire seco y vapor de agua (excluyendo a partir de esta consideración de todos los contaminantes presentes). Desarrollaremos un gran número de expresiones matemáticas para cuantificar la entalpía (contenido calórico de la mezcla aire-vapor) en función de la temperatura y la relación de mezclado. Con el fin de que asignemos un valor numérico a la entalpía del aire y al vapor de agua, es necesario establecer arbitrariamente puntos de referencia para cada uno de ellos y correlacionar la entalpía con la temperatura. Es costumbre asignar puntos de referencia de la entalpía del aire seco a 0 °F (-17.8 °C), por lo tanto, a una temperatura de 0 °F, la entalpía del aire seco es h_a , y tiene un valor de 0 Btu/lb aire seco. Es costumbre asignar un punto de referencia de entalpía para el agua líquida a 32 °F (0 °C), es decir a una temperatura de 32 °F, la entalpía del agua líquida es 0 Btu/lb agua líquida.

El punto de referencia de la entalpía para el vapor de agua se establece recordando las tablas estándar de las propiedades termodinámicas del agua publicadas por Goff and Gratch, que establecen a 32 °F (0 °C) una cantidad de calor igual a 1,075.8 Btu/lb de agua (2.502×10^6 J/Kg a 0 °C), cantidad requerida para cambiar una libra de agua líquida a una libra de vapor de agua a

32 °F. El punto de referencia de la entalpía para el vapor de agua saturado es de 1,075.8 Btu/lb a 32 °F. Asignaremos este valor de referencia con la siguiente anotación.

$$h_{fg,32} = 1,075.8 \text{ Btu/lb vapor}$$

El valor del calor específico para aire seco, C_{pa} , medido por los métodos calorimétricos estándar a 32 °F (0 °C), es 0.24 Btu/lb de aire seco °F (1.005 X 10³ J/Kg °K). Recordando que

$$C_p = dh / dt$$

Entonces podemos escribir

$$C_{pa} = 0.24 = (h_a - h_{data}) / (t_a - t_{data}) = h_a / t_a$$

La entalpía del aire seco a cualquier temperatura dada es:

$$h_a = C_{pa} t_a = 0.24 t_a \text{ (Btu/lb aire seco)}$$

El calor específico del vapor de agua, C_{pv} , determinado vía calorimétrica a 32 °F (0 °C), es 0.45 Btu/lb °F (1.884 X 10³ J/Kg °K). ⁽¹⁷⁾

Entonces podemos escribir:

$$C_{pv} = 0.45 = (h_v - 1,075.8) / (t_v - 32 \text{ °F})$$

La entalpía de vapor de agua a cualquier temperatura es:

$$h_v = h_{fg,32} + C_{pv}(t_v - 32^{\circ}F)$$

$$h_v = 1,075.16 + 0.45(t_v - 32^{\circ}F)$$

En unidades de Btu/lb vapor.

Con la finalidad de expresar con sencillez y permitir calcular la entalpía de una mezcla de aire seco y vapor de agua, se define el cociente de humedad, W , como el cociente másico del vapor de agua y aire seco (lb vapor / lb aire seco) para una mezcla de aire-vapor.

La entalpía de una mezcla de aire-vapor está dada por:

$$h_{av} = C_{pa}t + W[h_{fg,32} + C_{pv}(t-32^{\circ})] \quad \text{ec. 1.0}$$

En unidades de Btu/lb aire seco.

Desarrollaremos ahora la expresión matemática de la entalpía que será útil mas tarde en este texto. La interrelación entálpica incluirá un nuevo parámetro denominado, "el calor húmedo de aire seco", C_{pm} , definiéndolo como sigue:

$$C_{pm} = C_{pa} + W C_{pv}$$

En la literatura especializada a la ecuación de entalpía suplementaria, desarrollada a continuación, se le denomina "ecuación de entalpía convolucionada". Esta ecuación nos dará la temperatura de aire-vapor como una función de la mezcla de entalpía y la relación de humedad.

Iniciando con la ecuación 1.0:

$$h_{av} = C_{pa}t + W[h_{fg,32} + C_{pv}(t-32^{\circ})]$$

Expandiendo

$$h_{av} = C_{pa}t + Wh_{fg,32} + WC_{pvt} - 32WC_{pv}$$

Rearreglando:

$$h_{av} = (C_{pa} + WC_{pv})t + (h_{fg,32} - 32C_{pv})W$$

Insertando la expresión para calor húmedo:

$$h_{av} = C_{pm}t + (h_{fg,32} - 32C_{pv})W$$

Resolviendo para t, tenemos:

$$t = (1/C_{pm})[h_{av} - (h_{fg,32} - 32C_{pv})W]$$

ec. 2.0

II.2 LA CARTA PSICROMÉTRICA

Las propiedades de las mezclas de aire-vapor de agua se pueden recoger en diagramas como el de la figura II. 1, válida para mezclas de aire-vapor de agua a una atmósfera de presión.⁽¹⁵⁾

La figura II.2, ilustra el uso de los diagramas psicrométricos. El punto <> representa una muestra de aire húmedo a temperatura θ_1 y humedad absoluta H_1 . La humedad absoluta porcentual de este aire, $H_{p1} \%$, viene indicada por la curva de humedad absoluta porcentual constante que pasa por el punto <>. Suele ser preciso interpolar entre dos líneas. La abscisa <<d>> del punto <<c>> en la línea de humedad absoluta 100% es el punto de rocío de la muestra de aire. Los puntos de la línea a-b representan muestras de aire con la misma temperatura de

saturación adiabática. Como la temperatura de saturación adiabática del aire saturado es igual a su temperatura, la abscisa del punto <<a>> (intersección de la línea a-b con la de humedad absoluta 100%) indica el valor, θ_{SI} , de la temperatura de saturación adiabática. La humedad de saturación H_{SI} correspondiente a esta temperatura de saturación adiabática viene dada por la ordenada del punto <<a>>. El calor y el volumen específicos del aire húmedo en la muestra representada por el punto <> se pueden obtener a partir de curvas auxiliares. El calor específico del aire húmedo C_{HI} es la abscisa del punto <<h>> en la línea de calor húmedo en función de la humedad y tiene como ordenada H_1 . Las ordenadas de los puntos <<c>> y <<f>> son, respectivamente, los volúmenes específicos del aire seco y el aire saturado a θ_1 . El volumen específico del aire húmedo es la ordenada del punto <<g>> situado de modo que:

$$cg/ef = H_{pl}/100$$

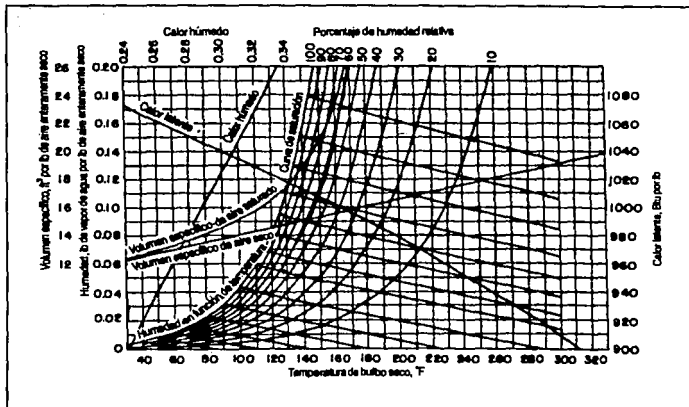


FIGURA II.1 DIAGRAMA PSICROMÉTRICO

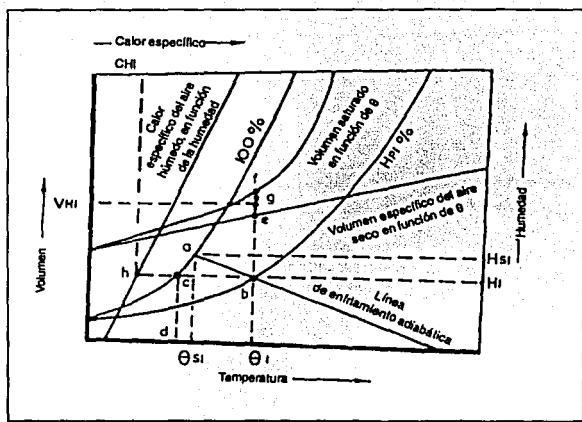


FIGURA II.2 UTILIZACIÓN DE UN DIAGRAMA PSICROMÉTRICO

Recordando las definiciones de la temperatura de bulbo húmedo, humedad relativa, temperatura de rocío, temperatura de bulbo seco, volumen específico y con referencia a las siguientes condiciones de diseño térmicas:

Flujo volumétrico del agua = 572,000 GPM (2,165,020 LPM)

HWT = temperatura de agua caliente = 127.4 °F (53 °C)

CWT = temperatura de agua fría 97 °F (36 °C)

WBT = temperatura de bulbo húmedo 79 °F (26 °C)

RH = humedad relativa = 60%

Se pueden determinar los valores para las siguientes propiedades a partir de la carta psicrométrica y las tablas psicrométricas incluidos en los anexos correspondientes.

1. Temperatura de bulbo seco = 90.77 °F (a partir de la carta psicrométrica, anexo A)
2. Volumen específico = 14.285 ft³/lb aire seco (a partir de la carta psicrométrica, anexo A)
3. Densidad de vapor = 0.002183 X 0.60 = 0.00131 lb vapor/ft³ (utilizando la gráfica de densidad del vapor, anexo C)
4. Densidad de la mezcla aire - vapor = (1/14.285) + 0.00131 = 0.077314 lb mezcla/ft³
5. Cociente de humedad = (0.0311833 X 0.6) = 0.01871 lb vapor / lb aire seco (anexo K)
6. Entalpía de la mezcla = 42.62 Btu/lb aire seco (a partir de las tablas de entalpía, anexo E)

Es importante mencionar que la temperatura de bulbo húmedo es un parámetro especialmente importante en el análisis de la torre de enfriamiento evaporativas debido a que:

1. El contenido de energía térmica de la mezcla de aire vapor que entra a la torre de enfriamiento puede ser determinada directamente cuando la temperatura de bulbo húmedo de la mezcla es conocida.
2. La temperatura de bulbo húmedo representa el límite teórico mas bajo para la temperatura de salida del agua fría de la torre de enfriamiento.

CAPÍTULO III

III. TEORÍA DE MERKEL

III.1 IMPORTANCIA DEL COCIENTE L/G.

El aire ambiental arrastrado a través de la corriente de aire de entrada de una torre de enfriamiento absorberá una cantidad considerable de humedad conforme pasa a través de la torre.

Por lo tanto, el flujo mísico de la mezcla aire-vapor se incrementa a lo largo de la trayectoria del flujo de aire a través de la torre.

Debemos reconocer que el flujo mísico del aire seco a través de la torre de enfriamiento es invariante, es decir, el número de moléculas de aire seco que entra a la torre de enfriamiento, es igual, al número de moléculas del aire seco que abandona la torre de enfriamiento. El flujo mísico del aire seco, normalmente asignado por el símbolo "G" y expresado en unidades de lb aire seco por hora, es el parámetro más importante en nuestro análisis en el comportamiento térmico. Es costumbre asignar el símbolo "L" al flujo mísico del agua circulante que entra a la torre de enfriamiento (libras de agua líquida por hora).

En la práctica, el flujo mísico del agua líquida es calculada como sigue:

$$L = \text{flujo del agua en GPM} \times 500 [=] \text{lb/h}$$

Donde 500 es un factor de conversión (8.33 lb/gal \times 60 min/h)

Veremos mas tarde que las correlaciones empíricas del comportamiento térmico de las torres de enfriamiento son normalmente expresadas en términos del cociente "líquido-gas", conocido como L/G . Obviamente, si uno conoce el flujo volumétrico del agua y L/G en el punto de diseño, entonces el flujo volumétrico del agua requerida en las condiciones de diseño son también conocidas. La forma de calcular el valor de L/G requerido será laborioso. Empezaremos con una discusión profunda de la teoría de Merkel para el proceso de enfriamiento evaporativo en una derivación rigurosa de la ecuación integral de Merkel.

III.2 DERIVACIÓN DE LA ECUACIÓN DE MERKEL.

En 1925 el estudiante graduado Alemán Friedrick Merkel, publicó su tesis titulada "enfriamiento evaporativo". El trabajo teórico para los procesos de enfriamiento evaporativo desarrollados por Merkel es muy útil y ha sido criticado desde hace tiempo por varios profesores universitarios y otros teóricos, debido a algunas consideraciones burdas que se hacen en el transcurso del desarrollo de la teoría. Sin embargo la teoría de Merkel continúa siendo la más ampliamente aceptada y el modelo matemático más usado para los procesos de transferencia de calor y masa en las torres de enfriamiento.

Esto es debido a que la teoría de Merkel da como resultado una metodología analítica simple y lo más importante, que funciona.

Empezaremos nuestra derivación de la ecuación de Merkel considerando un volumen de control de un pie cúbico en el interior de una torre de enfriamiento con gotas de agua que caen hacia abajo a través de nuestro volumen de control y con una mezcla de aire vapor que fluye hacia arriba a través de dicha superficie gaussiana. Debido a que nuestro volumen de control es pequeño comparado con el tamaño de la torre de enfriamiento global, expresaremos los cambios de temperatura, transferencia de calor , las dimensiones, etc., en términos diferenciales. En lugar de describir el volumen en términos del producto $dxdydz$, simplemente nos referiremos a él como el volumen diferencial dV en unidades de ft^3 . Denominaremos el flujo mísico de las gotas de agua que caen a través de nuestro volumen con la letra L , en libras de agua líquida por hora. El flujo mísico de la corriente de aire que fluye hacia arriba a través del volumen será denominado con la letra G , en libras de aire seco por hora. La superficie del área interfacial que existe entre las gotas de agua y la corriente de aire será expresada con el parámetro "a", en unidades de ft^2 de área superficial por ft^3 de volumen. El área superficial total para la transferencia de calor y masa desde el agua hacia el aire estará entonces dada por el producto de adV en unidades de ft^2 .

Si recordamos de nuestra teoría elemental de transferencia de calor, la relación de $dQ = mC_p dt$, describe cuantitativamente la velocidad de transferencia, dQ en Btu/h, desde la superficie interfacial, a , hasta un fluido que fluye a un flujo mísico, m , en libras por h, que tiene

una capacidad calorífica, C_p , en Btu/lb °F, y que sobrelleva un cambio de temperatura, dt , en °F, entonces podemos escribir:

$$dq_w = L dt_w \quad \text{ec. 3.0}$$

Donde:

dq_w : es la pérdida de energía térmica, proveniente de las gotas de agua líquida, en Btu/h, que ocurre conforme las gotas pasan a través de nuestro volumen de control dV y en el intervalo de la temperatura.

dt_w : es la reducción de la temperatura de las gotas asociadas con el proceso de enfriamiento.

Nótese que no se incluye el calor específico en la ecuación anterior. Es costumbre eliminar el C_p en esta derivación debido a que el calor específico del agua, por definición, es igual a la unidad.

Analizaremos más de cerca lo que está sucediendo en el interior del volumen de control, enfocando nuestra atención a una gota de agua líquida. Asumiremos que la gota de agua bajo estudio se encuentra a una temperatura uniforme, t_w . Dicha gota de agua está rodeada por una capa límite fina de aire saturada a una temperatura, t_f ; la película alrededor de la gota se mantiene en estado de saturación como resultado de la difusión de las moléculas de agua desde la interfase. La corriente de aire que fluye alrededor de la gota de agua está a una temperatura, t_a . Toda la energía térmica que se pierde desde la gota de agua pasa a través de la película saturada. La energía térmica perdida desde la gota puede ser expresada como:

$$Q_{gota} = K_F A_{gota} (t_w - t_f).$$

Donde

Q_{gota} = es la energía total perdida desde la gota en Btu/h

K_F : es la conductancia global de la transferencia de calor y masa entre la gota y la película circundante en Btu/h ft² °F

A_{gota} = es el área superficial de la gota de agua en ft².

Recordando que el área superficial total de todas las gotas en el volumen de control está dada por dV , la energía total perdida de todas las gotas en dV está dada por

$$dq_w = K_F a dV (t_w - t_f) = L dt_w \quad \text{ec. 4.0}$$

La expresión anterior es la transferencia total de calor y masa de todas las gotas en nuestro volumen de control, dV , hacia las capas limitantes saturadas alrededor de cada una de las gotas.

La transferencia de energía térmica entre la película alrededor de las gotas y la corriente de aire alrededor de las gotas involucra dos procesos de transporte de energía simultáneos. Debido a que la temperatura de la película, $t_f > t_a$, una porción de la energía térmica transferida es por transferencia de calor "sensible", es decir, el calor debido únicamente a la existencia de un gradiente de temperatura. Este modo de transferencia de calor involucra los mecanismos de convección y conducción. La porción de la energía térmica transferida entre la película y el aire debido al calor sensible puede ser escrita en la forma:

$$dq_s = K_s a dV (t_f - t_a)$$

Donde:

dq_s = es la transferencia de calor sensible total de las películas de todas las gotas en el volumen dV hacia la corriente de aire en unidades de Btu/h.

K_s = conductancia efectiva de transferencia de calor sensible entre la película y la corriente de aire en unidades de Btu/h ft² °F.

La mayor parte de la transferencia de calor entre la película y la corriente de aire ocurre vía mecanismo de "evaporación". Esto involucra una emigración de moléculas de vapor de agua en la película, que tiene un contenido de energía térmica, igual a $h_{fg,32} + C_{pv}(t_f - 32)$ Btu/lb vapor hacia el aire circundante. Esta migración de moléculas de vapor es el resultado de un gradiente de humedad que existe entre la película y la corriente de aire. El flujo máscico de las moléculas de vapor desde la película de todas las gotas hacia la corriente de volumen de control dV está dado por:

$$dm_{vapor} = K_L a \partial V (W_f - W_a) \quad ec. 6.0$$

Donde:

dm_{vapor} = flujo máscico del vapor desde la película del aire en unidades de lb vapor / h.

K_L = proporción de transferencia de masa en unidades de lb vapor / h FT² (lb vapor / lb aire seco).

W_f = proporción de humedad de la película saturada a la temperatura t_f , en unidades de lb vapor / lb aire seco.

W_a = proporción de humedad de la corriente de aire en unidades de lb vapor/ lb aire seco.

La cantidad de energía térmica transferida asociada con esta migración de moléculas de vapor está dado por:

$$dq_L = dm_{vapor} [h_{fg,32} + C_{pv} (t_f - 32^\circ)]$$

La velocidad de transferencia total de calor y masa desde las gotas está dada por:

$$dq_w = dq_s + dq_L = Ldt_w$$

Podemos reescribir esta expresión como:

$$dq_w = Ldt_w = K_s adV(t_f - t_a) + K_L adV(W_f - W_a) [h_{fg,32} + C_{pv} (t_f - 32^\circ)]$$

Esta expresión da la energía térmica total transferida desde las gotas de agua en el volumen de control dV hacia la corriente de aire.

En 1922, el profesor de ingeniería química del M.I.T. (Massachusetts Institute of Technology), W.K. Lewis, publicó un artículo titulado "EVAPORACIÓN DE UN LÍQUIDO EN UN GAS". En el estudio de la teoría de Lewis, él definió un parámetro adimensional:

$$Le = K_s / K_L C_{pm}$$

Conocido ahora como la relación de Lewis, él determinó que para los sistemas de vapor aire-agua, este cociente de conductancias de transferencia de masa y calor es muy cercanamente igual a la unidad, es decir:

$$K_s = K_L C_{pm}$$

Donde

$$C_{pm} = C_{pa} + W C_{pv}$$

Merkel asumió que esta igualdad era exacta. La expresión para la energía térmica total perdida de las gotas de agua podría ser simplificada como sigue:

$$dq_w = Ldt_w = K_L C_{pm} adV(t_f - t_a) + K_L adV(W_f - W_a)[h_{fg,32} + C_{pv}(t_f - 32^\circ)]$$

Conectando términos:

$$\partial q_w = L \partial t_w = K_L a \partial V \{ C_{pm} (t_f - t_a) + (W_f - W_a) [h_{fg,32} + C_{pv}(t_f - 32^\circ)] \}$$

En unidades de Btu/h.

El siguiente paso en la derivación de la ecuación de Merkel involucra la ecuación de entalpía convulsionada que fue derivada anteriormente en nuestra discusión en la relación de entalpía para la mezcla aire-vapor.

Utilizando la ecuación de entalpía convulsionada, podemos expresar la temperatura de la película saturada alrededor de las gotas del líquido, t_f , en la siguiente forma:

$$t_f = (1 / C_{pm}) [h_f - (h_{fg,2} - 32C_{pv}) W_f]$$

Donde:

h_f y W_f son la entalpía y el valor del cociente proporción de humedad, respectivamente, para la película de aire saturado alrededor de las gotas.

De manera similar se puede escribir la temperatura de la corriente de aire, t_a , como sigue:

$$t_a = (1 / C_{pm}) [h_a - (h_{fg,32} - 32C_{pv}) W_a]$$

Podemos también escribir:

$$t_f - t_a = (1 / C_{pm})[(h_f - h_a) - (W_f - W_a)(h_{fg,32} - 32C_{pv})]$$

sustituyendo esta expresión para el gradiente de temperatura, $t_f - t_a$, en nuestra ecuación de pérdida de energía térmica total, tenemos:

$$\partial q_w = L\partial w = K_L a \partial V[(h_f - h_a) - (W_f - W_a)(h_{fg,32} - 32C_{pv}) + (W_f - W_a)[h_{fg,32} + C_{pv}(t_f - 32^\circ)]]$$

Esta ecuación puede ser simplificada hasta la forma

$$\partial q_w = L\partial w = K_L a \partial V[(h_f - h_a) + (W_f - W_a)(C_{pv}t_f)]$$

Debido a que $(W_f - W_a)(C_{pv}t_f) \ll (h_f - h_a)$,

Merkel eliminó el segundo término ($C_{pv}t_f$), dando lugar a :

$$\partial q_w = L\partial w = K_L a \partial V(h_f - h_a)$$

La consideración final de Merkel para simplificar, fue asumir que la temperatura de la capa límite del aire saturado alrededor de las gotas es igual a la temperatura de las gotas de agua en su interior y que el coeficiente de transferencia de masa, K_L puede ser sustituido por un coeficiente de transferencia de masa y calor global, K , para la transferencia de energía térmica desde las gotas de agua hasta la corriente de aire. Entonces, en forma estándar tenemos:

$$dq = L\partial = KadV(h' - h)$$

Arreglando términos:

$$Ka dV/L = dt/(h' - h)$$

Donde:

h' : es la entalpía de la película alrededor de las gotas

h : es la entalpía del aire.

La integración desde la temperatura del agua fría, CTW, hasta la temperatura de agua caliente, HTW, nos da lo siguiente:

$$\frac{Ka}{LCp} \int_0^V \partial V = \int_{CTW}^{HTW} \frac{\partial t}{h' - h}$$

$$\frac{KaV}{LCp} = \int_{CTW}^{HTW} \frac{\partial t}{h' - h}$$

Es interesante notar que la expresión del lado izquierdo de la ecuación anterior es análoga a la definición del número de unidades de transferencia (NTU), que se utiliza en los análisis convencionales de intercambiadores de calor como una medida de la magnitud del intercambio de calor:

$$NTU = \frac{UA}{mCp}$$

Se acostumbra en la literatura de las torres de enfriamiento eliminar el término de Cp (el cual por definición es igual a la unidad) que aparece en la ecuación integral no lineal de transferencia de calor y masa.

La relación resultante a menudo denominada ecuación de Merkel:

$$\frac{KaV}{L} = \int_{CWT}^{HWT} \frac{\partial t}{h' - h}$$

Expresada en forma integrada tenemos:

$$\frac{KaV}{L} = \int_{T_1}^{T_2} \frac{dt}{h' - h}$$

En donde:

K = Coeficiente de transferencia de masa en lb de agua/ ft²h.

a = Área de contacto en ft²/ft³ de volumen de torre

V = Volumen de enfriamiento activo en ft³/ft² de área plana

L = Velocidad del agua en lb/ft²h

h' = Entalpía del aire saturado a la temperatura del agua en Btu/lb

h = Entalpía de la corriente de aire en Btu/lb

T_1 y T_2 = Temperaturas del agua en la entrada y la salida en °F.

El lado derecho de la ecuación de Merkel se expresa por completo en términos de las propiedades del aire, el agua y es independiente de las dimensiones de la torre.

En la figura III.1 se ilustra las relaciones del agua, el aire y el potencial impulsor que existe en una torre de contraflujo, en donde el aire fluye en sentido paralelo, pero siguiendo una dirección opuesta al flujo del agua. La comprensión de este diagrama constituye una base importante para entender el proceso de la torre de enfriamiento.⁽¹⁵⁾

La línea de operación del agua está representada por la línea *AB* y se especifica por medio de las temperaturas del agua de la torre en la entrada y la salida. La línea de operación del aire principia en *C*, verticalmente por debajo de *B*, y en un punto que tiene una entalpía correspondiente a la temperatura de entrada de bulbo húmedo. La línea *BC* representa la fuerza impulsora inicial ($h' - h$). para enfriar el agua 1°F , la entalpía por libra de aire aumenta 1 Btu multiplicada por la razón de libras de agua por libra de aire. La relación líquido-gas (L/G) es la pendiente de la línea de operación. El aire que sale de la torre se representa por medio del punto *D* y la gama de enfriamiento es la longitud proyectada de la línea *CD* sobre la escala de temperaturas. La diferencia útil de temperaturas en la torre de enfriamiento se ilustra en el diagrama como la diferencia entre la temperatura del agua fría que sale de la torre y la temperatura de bulbo húmedo del ambiente.

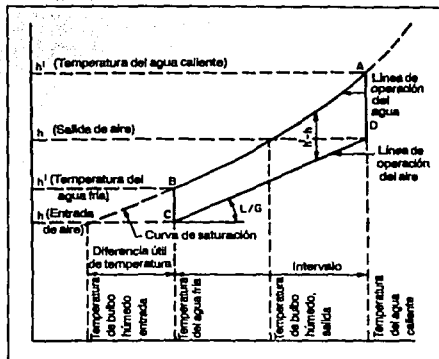


FIGURA III.1 BALANCE CALORÍCO DE UN PROCESO DE UNA TORRE DE ENFRIAMIENTO

La ecuación de Merkel en forma integrada se representa por medio del área *ABCD* de este diagrama, y dicho valor se conoce como la característica de la torre, que varía con la razón *L/G*.

El término *KaV/L* se denomina número de Merkel en la literatura europea de las torres de enfriamiento y es una medida de la dificultad del servicio de enfriamiento especificado.

El valor de *KaV/L* puede ser calculado utilizando los métodos de integración numéricos y teniendo los valores de los cuatro parámetros siguientes: *L/G*, *HWT*, *CWT* & *WBT*.

III.3 ECUACIÓN DE BALANCE DE ENERGÍA EN LA TORRE DE ENFRIAMIENTO.

Ahora que hemos derivado la ecuación de Merkel debemos determinar como resolverla y mas importante, descubrir como utilizarla en la determinación de la proporción líquido-gas. Para la torre de enfriamiento, la derivación fue llevada a cabo en términos de las pérdidas de energía térmica desde las gotas de agua que caen en una corriente de aire a contra corriente. Sin embargo hemos dicho poco acerca de lo que sucede a la corriente de aire que pasa a través de la torre de enfriamiento. Obviamente la entalpía del aire se incrementa a medida que fluye en su curso a través de la torre. Debido a que la pérdida de energía total desde el agua debe ser igual a la energía total ganada por la corriente de aire podemos escribir la siguiente ecuación de balance de energía.

$$L \, dt = G \, dh$$

Donde :

G: es el flujo máscico del aire seco en lb aire seco

Δh : es un cambio incremento en la entalpía del aire en Btu/lb aire seco. Se puede reescribir la ecuación de balance de energía de la siguiente forma:

$$\frac{L}{G} = \frac{dh}{dt} = \frac{h}{t}$$

Teniendo en mente que L y G son algo constantes vemos que el cambio en la entalpía del aire varía linealmente con los cambios de la temperatura del agua. Si nosotros consideramos el cambio global en la temperatura del agua y la entalpía del aire que ocurre en nuestra torre de enfriamiento nos damos cuenta de lo siguiente:

$$\Delta h = (\text{rango}) (L/G)$$

De manera que la entalpía de salida del aire = $h_{\text{salida}} = (\text{rango}) (L/G) + h_{\text{entrada}}$

Donde:

h_{entrada} es la entalpía del aire que entra a la torre de enfriamiento.

III.4. CÁLCULO DEL NÚMERO DE MERKEL

El Instituto de Torres de Enfriamiento (CTI) ha estandarizado el método numérico de Tchebycheff para la integración y solución a la ecuación de Merkel:

$$\frac{KaV}{L} = \int_{T_1}^{T_2} \frac{dt}{h_w - h_a} \equiv \frac{T_2 - T_1}{4} \left(\frac{1}{\Delta h_1} + \frac{1}{\Delta h_2} + \frac{1}{\Delta h_3} + \frac{1}{\Delta h_4} \right)$$

Donde:

h_w = entalpía de la mezcla de aire-vapor de agua a la temperatura masiva del agua en Btu/lb de aire seco.

h_a = entalpía de la mezcla de aire-vapor de agua a la temperatura de bulbo húmedo en Btu/lb de aire seco.

$$\Delta h_1 = \text{valor de } (h_w - h_a) \text{ a } T_2 + 0.1(T_1 - T_2)$$

$$\Delta h_2 = \text{valor de } (h_w - h_a) \text{ a } T_2 + 0.4(T_1 - T_2)$$

$$\Delta h_3 = \text{valor de } (h_w - h_a) \text{ a } T_1 + 0.4(T_1 - T_2)$$

$$\Delta h_4 = \text{valor de } (h_w - h_a) \text{ a } T_1 + 0.1(T_1 - T_2)$$

Para ser mas representativos a la explicación de este método solo se presenta una guía para calcular el número de Merkel a través de un ejemplo de cálculo utilizando los siguientes parámetros de entrada y las tablas de entalpía estándar del aire saturado, anexo E , calculamos un valor de $KaV/L = 1.674^{(9)}$

$$L/G = 1.3867$$

$$HWT = 118.4^{\circ}\text{F} = T_1$$

$$CWT = 86.4^{\circ}\text{F} = T_2$$

$$WBT = 72^{\circ}\text{F}$$

$$R = 32^{\circ}\text{F}$$

$$\Delta h = 1.3867 \times 32 = 44.374 \text{ Btu/lb de aire seco}$$

$$h_1 \text{ a } 72.0^\circ\text{F, WBT} = 35.830 \text{ Btu/lb de aire seco}$$

$$h_2 = 80.204 \text{ Btu/lb de aire seco}$$

Temperatura T, °F	h_w	h_a	$h_w - h_a$	$I / (h_w - h_a)$
$T_2 + 0IR = 89.6$	55.37	$h_1 + 0.1\Delta h = 40.267$	15.103	0.06621
$T_2 + 0.4R = 99.2$	70.32	$h_1 + 0.4\Delta h = 53.580$	16.740	0.05974
$T_1 - 0.4R = 105.6$	82.58	$h_2 - 0.1\Delta h = 62.454$	20.126	0.04969
$T_1 - 0.1R = 115.2$	105.52	$h_2 - 0.4\Delta h = 75.767$	29.753	0.03361
				$\Sigma = 0.20925$
Valor de $KaV/L = 0.20925 \times 32/4 = 1.6740$				

En este punto de nuestro desarrollo de la metodología del análisis del enfriamiento térmico debemos hacer las siguientes observaciones tomando en cuenta la teoría de Merkel:

1. La ecuación de Merkel no tiene nada que ver con el tipo de relleno usado en la torre de enfriamiento o en ese sentido, con cualquier otra característica física del diseño de la torre de enfriamiento. El valor de KaV/L prescrito por la ecuación de Merkel simplemente es un índice que indica la dificultad relativa del enfriamiento dado.⁽⁸⁾

2. La teoría de Merkel fue introducida como un medio para determinar el valor del punto de diseño de L/G , sin embargo hemos encontrado que la solución de la ecuación de Merkel requiere conocimiento previo del valor de L/G .⁽⁸⁾

La teoría de Merkel fue introducida como un medio de calcular el flujo de aire volumétrico requerido para alcanzar un punto de enfriamiento específico. A pesar de que hemos visto como la ecuación integral de Merkel se puede resolver utilizando métodos numéricos, por el momento no se ha visto como la teoría de Merkel puede conducir al valor de L/G en el punto de diseño.

Como hemos visto los valores de K_{avL} generados por la ecuación de Merkel son genéricos y relacionan solamente las condiciones de diseño térmicas básicas con la velocidad de flujo de aire.

CAPÍTULO IV

IV. ANÁLISIS TÉRMICO EN UNA TORRE DE ENFRIAMIENTO DE TIRO MECÁNICO.

Muchas teorías han sido desarrolladas para describir la transferencia de calor y masa que tiene lugar en el interior de las torres de enfriamiento. La mayoría de dichas teorías están basadas en principios netamente ingenieriles debido a que una torre de enfriamiento puede ser considerada como un intercambiador de calor donde entran en contacto directo una corriente de agua caliente con otra de aire frío y seco.⁽¹⁾

No hay método aceptable para el cálculo exacto de las superficies de contacto total entre el agua y el aire en el interior de la torre. Por lo tanto, un factor "K" o coeficiente de transferencia de calor, no puede ser determinado directamente o calculado a partir de las teorías de transferencia de calor.

Para muchos tipos de dispositivos de transferencia de calor se rechaza la solución por métodos teóricos. Los datos de diseño deben ser obtenidos completamente por pruebas a escala bajo condiciones de operación reales. Los resultados pueden graficarse posteriormente y formularse como una correlación empírica.

La experimentación e investigación utilizada en el análisis de las torres de enfriamiento puede ser descritas como "la teoría de caja negra". En ella, las condiciones de frontera son definidas y descritas por ecuaciones fundamentales y modelación matemática. Los procesos exactos por los cuales la transferencia de calor y masa toman lugar dentro de un intercambiador de calor de contacto directo, no son completamente conocidos. Sin embargo, los resultados pueden ser formulados con ecuaciones que evalúen y predigan adecuadamente el comportamiento del dispositivo bajo la mayoría de las condiciones de operación.

El concepto generalmente aceptado para evaluar el comportamiento de las torres de enfriamiento fue desarrollado por Merkel en 1925. Su análisis y ecuaciones incluían la transferencia de calor sensible y latente como parte del proceso global de transferencia de calor y masa, basándose en la diferencia de entalpías como la fuerza impulsora.⁽¹⁾⁽²⁾

IV.1 CURVA CARACTERÍSTICA DE LA TORRE.

En 1976, Neil W. Kelly publicó las curvas de comportamiento para torres de enfriamiento de flujo cruzado utilizando las fórmulas básicas del método de integración de 4 puntos de Tchebycheff, pero modificado para los requerimientos particulares de este tipo de configuración de torre de flujo cruzado. Su libro, con su introducción a las curvas de comportamiento, ha desentrañado mucho del "misterio" que rodea a la tecnología de flujo cruzado y provee una guía muy útil para diseñadores.

La figura IV.1, es una representación de una curva de comportamiento para torres de enfriamiento de flujo cruzado o contraflujo, para una temperatura de bulbo húmedo de entrada de 82°F (27.8 ° C) y un rango de enfriamiento de 30°F. Las curvas de Kelly se extienden desde 35 °F (1.66 °C) hasta 85°F (29.4 °C), cubriendo muchos rangos de enfriamiento. Las curvas se grafican con la demanda térmica K_aY/L o K_aV/L (como ordenada) en una función de la proporción L/G (en el eje de las abscisas).

Las líneas de aproximación (temperatura de agua fría menos temperatura de bulbo húmedo) son parámetros de diseño relevantes, por lo que se hacen resaltar en la representación gráfica. Las curvas de demanda se determinan independientemente del diseño y comportamiento de la torre para cualquier relleno en particular.

Este libro de referencia con sus familias de curvas, ha llegado a ser el estándar industrialmente aceptado y en la actualidad se le conoce como el libro azul del CTI (Institute Cooling Tower).

Usaremos el conjunto de gráficas del libro azul apropiado en nuestra evaluación del valor de L/G en el punto de diseño.

La característica de la torre, es decir, el valor de K_aY/L para flujo cruzado o K_aV/L para contraflujo, se determina a partir de la intersección de 3 puntos, que son:

- L/G
- la aproximación
- y/o el valor característico.

Al calcular y graficar los dos primeros parámetros anteriores, se localiza el valor de KaV/L .

El valor de KaV/L también puede ser evaluado con la integración de Tchebycheff e utilizando los valores de la carta de entalpía, el método aceptado para localizar mas fácilmente el punto de diseño es calcular el coeficiente L/G e intersectar la curva de aproximación sobre la curva de comportamiento apropiada o el punto húmedo de prueba y el rango. Entonces, al graficar el punto de diseño en la intersección de L/G con la aproximación, automáticamente se obtiene la demanda térmica KaY/L o KaV/L sobre la escala ordenada vertical.

Tanto la característica de la torre como el cociente L/G son valores adimensionales.

Mientras más grande sea la demanda térmica sobre la escala ordenada, más difícil será que la torre de enfriamiento alcance las condiciones de diseño. También es frecuente que mientras más alto sea el volumen de aire (el valor "G" del cociente líquido / gas) más fácil será para la torre operar en el punto de diseño, (el menor valor de L/G llega a obtenerse a medida que uno se mueve hacia la izquierda sobre la abscisa horizontal).

La demanda térmica, KaV/L o KaY/L debe ser igualada por el comportamiento térmico y la capacidad del diseño de la torre. La intersección de la curva característica de la torre en el punto

de diseño con la línea de aproximación, determina el cociente L/G en el cual la torre debe operar para alcanzar las temperaturas de diseño especificadas.

Los valores de los parámetros de diseño KaV/L o KaY/L y de L/G , ajustados para cambios en la temperatura pueden ser transpuestos a otras curvas de demanda. Los puntos ajustados predicen la aproximación para condiciones de operación diferentes a la de diseño. Esta es una interrelación importante en la prueba térmica de las torres.

La ecuación de KaV/L es una determinación de la demanda térmica a contra flujo, mientras que la ecuación de KaY/L es una determinación de la demanda térmica a flujo cruzado. Esta es la llamada "característica de la torre" y es independiente del tipo y configuración del empaque de relleno. Los valores requeridos para obtener KaV/L o KaY/L están basados en las condiciones de diseño requeridas de la situación de retiro de calor particular que esté siendo investigada.

Los compradores y operadores astutos y con conocimiento le requieren a los manufacturadores que les provean curvas de comportamiento características de sus puntos de diseño de las torres y el comportamiento de los materiales de transferencia de calor (relleno) que han de ser utilizados, junto con la curva de Kelly para sus torres, con el objetivo de obtener predicciones adecuadas del comportamiento, como se describe en las figuras IV.3 y IV.6. ^(5X2)

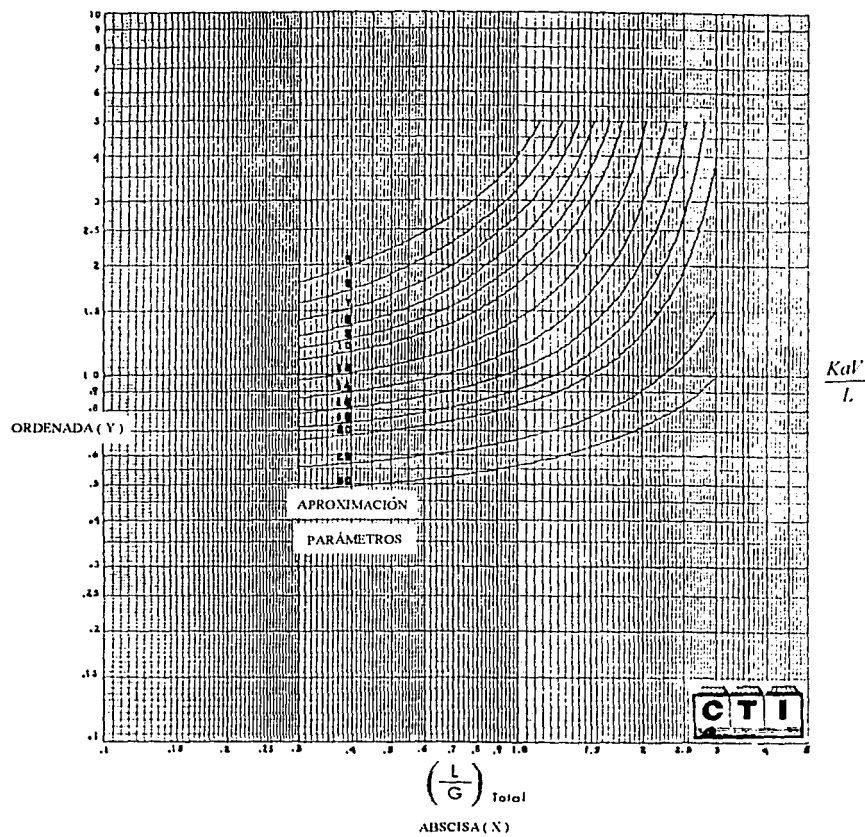
FIGURA IV. 1: CURVA CARACTERÍSTICA DE LA TORRE

WBT = 82 °F

RANGO = 30 °F

ALTITUD = 0 ft

PRESIÓN = 29.921 in Hg



IV.2 ECUACIÓN CARACTERÍSTICA DEL COMPORTAMIENTO TÉRMICO DEL RELLENO.

Como se mencionó anteriormente en este trabajo, con el fin de desarrollar predicciones viables del comportamiento térmico de las torres de enfriamiento. El análisis térmico deberá hacerse con una base de datos extensos empíricos sobre los cuales encontraremos el diseño térmico. Un ingrediente clave en los bancos de datos de los diseñadores térmicos, es el catálogo de KaV/L vs L/G y las correlaciones correspondientes para varias configuraciones de relleno. Estas correlaciones son encontradas en datos originales extraídos de las pruebas conducidas en una celda de la torre de enfriamiento diseñada específicamente para tal propósito. Una celda de prueba de una torre de enfriamiento, es esencialmente, una torre de enfriamiento en miniatura, tiene normalmente un área plana de aproximadamente 400 ft^2 (37.2 m^2) y a menudo menos de 100 ft^2 (9.3 m^2). Una celda de prueba apropiadamente diseñada provee una distribución uniforme del flujo de agua y flujo de aire sobre la configuración de relleno a ser probada y está completamente instrumentada para permitir medidas directas de la temperatura del agua a la entrada y a la salida de la temperatura de bulbo húmedo, de la temperatura de bulbo seco a la entrada y los flujos volumétricos del agua, así como, de las presiones diferenciales estáticas compuestas. La medida directa de las velocidades de flujo y las temperaturas relevantes, por supuesto, permite el cálculo directo de los valores de L/G y los valores de KaV/L . Una batería simple de pruebas térmicas características involucran numerosas corridas de prueba donde el flujo de agua es mantenido constante y el flujo de aire es variable, produciendo una variedad amplia de valores de prueba de L/G y KaV/L .

Un conjunto de corridas de prueba de esta manera produce un conjunto de datos y puntos de KaV/L vs L/G . Cuando se gráfica en papel logarítmico, se permite visualizar una función de línea recta que puede ser expresada matemáticamente de la siguiente forma:

$$KaV/L = Ko(L/G)^{-n}$$

Donde:

Ko : es el valor de KaV/L cuando L/G es igual a la unidad y $-n$ es la pendiente de la linea graficada en el papel logarítmico. Ka es una función fuertemente dependiente de la carga de agua en el relleno en GPM/ ft^2 , de la altura de la cascada de agua y en una extensión poco menor, del rango de enfriamiento. El valor del exponente n , varía desde 0.5 a 0.7 y es una función solamente de la geometría del relleno. La ecuación anteriormente es conocida como la ecuación característica del relleno térmico. (3x8)

IV.3 EFECTOS DEL FACTOR DE ESCALA.

El comportamiento térmico en las celdas de las torres de enfriamiento relativamente pequeñas que tienen 5,000 ft^2 (465 m^2) de área plena de relleno o menos puede ser predicho con bastante buena exactitud basándose en los números adimensionales KaV/L vs L/G determinados a partir de la manipulación de datos en la celda de prueba. Sin embargo, las características térmicas de la celda de prueba no deben ser utilizadas como base para los diseños térmicos de torres de enfriamiento grandes por tiro natural o tiro mecánico circulares.

El error introducido cuando se usan los datos de la celda de prueba para la predicción del comportamiento de torres grandes es debido parcialmente al hecho del que el aire que entra al relleno cerca del centro de la torre se encuentra a una temperatura mucho más grande que la temperatura de bulbo húmedo ambiental. El precalentamiento del aire que ocurre apenas iniciado el proceso en el relleno de contraflujo de una torre circular muy grande, da como resultado una variación radial del valor efectivo de K_aV/L . En una torre de tiro natural la situación es complicada posteriormente debido al hecho de que la distribución de flujo de aire a través de la torre es naturalmente no uniforme.

Considerando el diseño térmico de grandes torres de enfriamiento, los datos generados en el laboratorio son útiles como un medio de evaluar la forma de la interrelación funcional que existe entre el valor de K_o , la carga de agua en el relleno y las características térmicas del relleno. Las características térmicas generadas en una celda de prueba deben ser debatidas a través del uso de factores de escala que en efecto incrementan la caída de presión en el relleno y alteran los valores de K_o . Los valores numéricos para el debatimiento de los factores de escala solamente pueden ser determinados a partir de la prueba de campo de grandes torres de enfriamiento.

IV.4 DETERMINACIÓN DEL PUNTO DE DISEÑO EN LA CURVA CARACTERÍSTICA

Ahora determinaremos los valores de L/G para el punto de diseño resolviendo la ecuación característica anterior, simultáneamente con la ecuación integral de Merkel. Este propósito es usualmente llevado acabo utilizando métodos computacionales o por superposición de las curvas

características sobre el conjunto apropiado de gráficas del libro azul de CTI y leyendo el valor de L/G en la intercepción con la línea de aproximación apropiada.

A continuación los ejemplos 1,2 y 3 describen paso a paso la utilización de las gráficas del CTI para obtener el punto de diseño en la curva característica. ^(3X5)

EJEMPLO 1

Se tiene una torre de enfriamiento de a contra flujo que utilizará un relleno celular XF-19060. La altura de la torre es de altura de 20 ft. Determinar el punto de diseño en la curva característica. ⁽³⁾

Condiciones de diseño:

GPM = 22,000 (83,270 LPM)

HTW = 95 °F, (35 °C)

CWT = 82 °F, (27.8 °C)

WBT = 71 °F, (22 °C)

CFM = 371,100 por ventilador

5 celdas

18 ft, (5.48 m) diámetro del ventilador

50 HP motor

Rango = 12 °F, (7 °C)

aproximación = 12 °F, (6 °C)

$$L/G = [(22\ 000/5) / 371\ 100] 116.5 = 1.38$$

Paso 1

La tarea inicial será localizar el punto de diseño sobre la curva de comportamiento particular para estas condiciones de diseño, figura IV.2. Abriendo el manual del CTI de curvas de comportamiento para torres de enfriamiento de flujo cruzado, llegaremos a la sección de temperatura de bulbo húmedo de 71°F y continuaremos hasta llegar a la página correspondiente al rango de 12°F . Sabemos que la aproximación a la temperatura de bulbo húmedo es de 11°F (temperatura de agua caliente de 82°F menos temperatura de bulbo húmedo de 71°F). El trazado de una curva francesa a medio camino entre 10°F y 12°F nos dará una línea base de referencia visual.

Paso 2.

Ahora calculamos el cociente L/G tal como se describió líneas arriba, obteniendo el valor de 1.38. Desplazándonos verticalmente sobre la línea $L/G = 1.38$, llegamos a interceptar la curva de aproximación de 11°F en el punto de diseño, figura IV.2. La curva característica de diseño es un valor de comportamiento que es proporcionado por los fabricantes de rellenos y tiene una pendiente negativa con valor de alrededor de -0.6, correspondiente a un ángulo de 60° . Localizando el punto de diseño, podemos entonces trasladarnos horizontalmente hacia la izquierda hasta un valor de $K_a V/L$ de 1.52, manteniendo en mente que el punto de diseño es la intersección de esas tres entidades.

Paso 3.

Seleccionar la curva de comportamiento de los fabricantes de relleno que sea probable que produzca los resultados requeridos, figura IV.3. Debido a que la torre de enfriamiento en este ejercicio tiene menos de 20 pies de altura vertical, también puede utilizarse relleno celular. Todos los manufacturadores con reputación proveen de curvas de comportamiento que puedan ser fotocopiadas en transparencias. Normalmente, en torres de enfriamiento grandes con altura de relleno vertical de más 20 pies, no es económicamente viable instalar relleno celular.

Paso 4.-

Superponer la transparencia de la curva de comportamiento sobre la parte superior del punto de diseño, alineando la línea horizontal de $KaV/L = 1.0$ y la línea vertical de $L/G = 1.0$ para seleccionar la profundidad apropiada del relleno, la cual será el valor debajo del punto de diseño que producirá las condiciones de diseño calculadas, figura IV.4. Los manufacturadores deben proveer datos de pérdidas de presión estática basados en la velocidad del aire, la carga de agua, y la profundidad del relleno, los cuales deben ser tomados en cuenta al momento de seleccionar la profundidad de los materiales de relleno celular apropiados.

En este ejercicio, un flujo horizontal de aire de $5 \frac{1}{2}$ ft a través del material CF-1900 o CF-19060 producirá las condiciones de diseño.

FIGURA IV. 2: CURVA CARACTERÍSTICA DE DISEÑO DE LA TORRE

WBT = 71 °F

RANGO = 12 °F

ALTITUD = 0 ft

PRESIÓN = 29.921 in Hg

EN LOS CON
FALLA DE ORIGEN

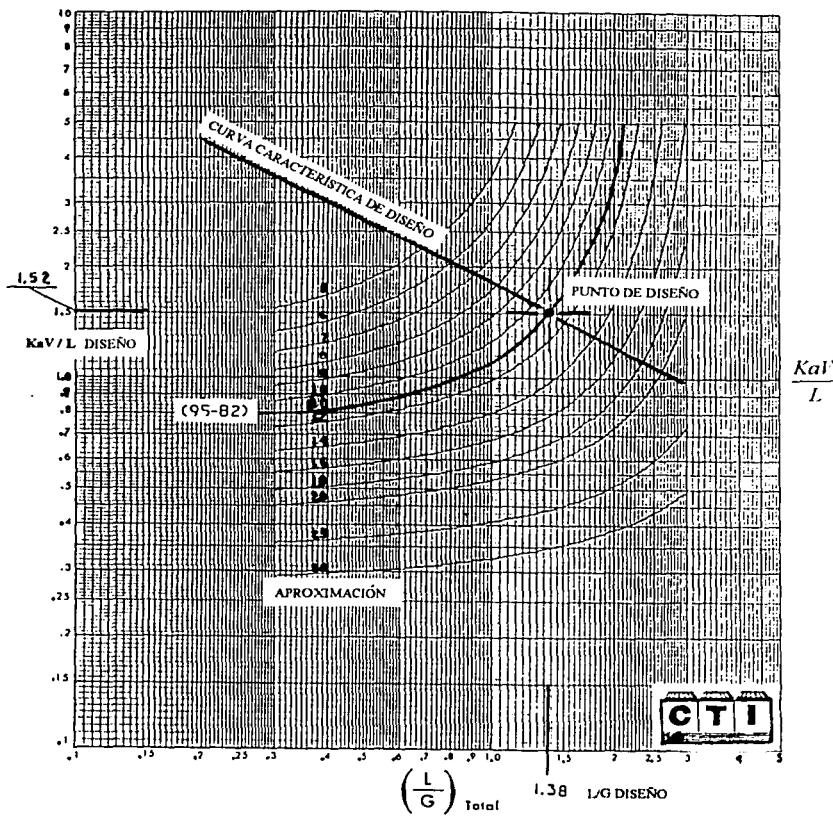
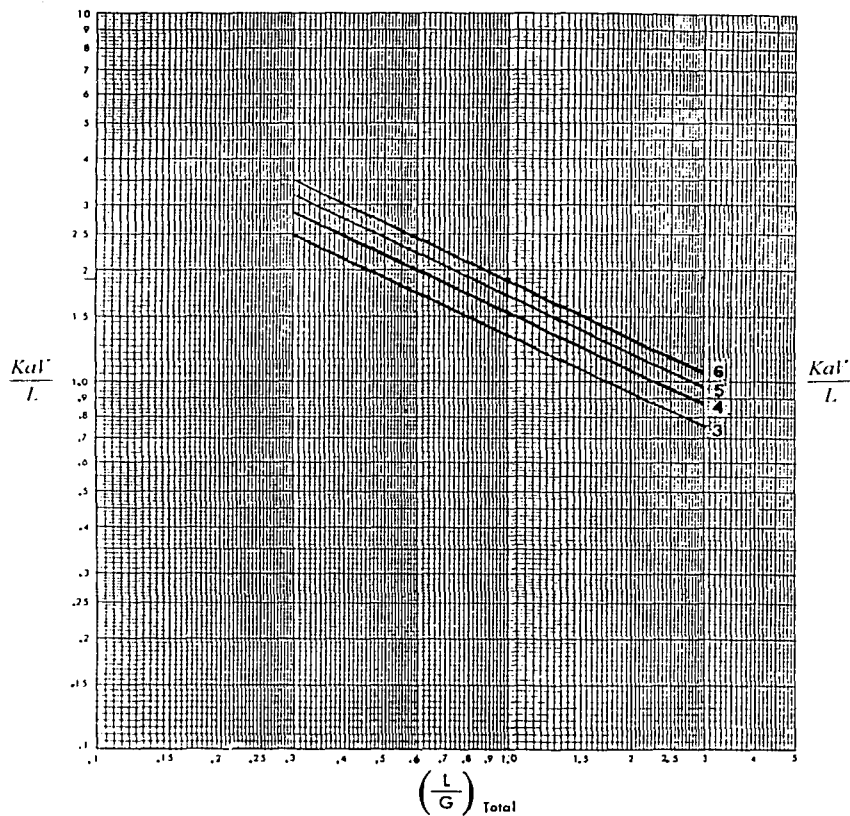


FIGURA IV.3: CURVA CARACTERÍSTICA DEL COMPORTAMIENTO DEL RELLENO

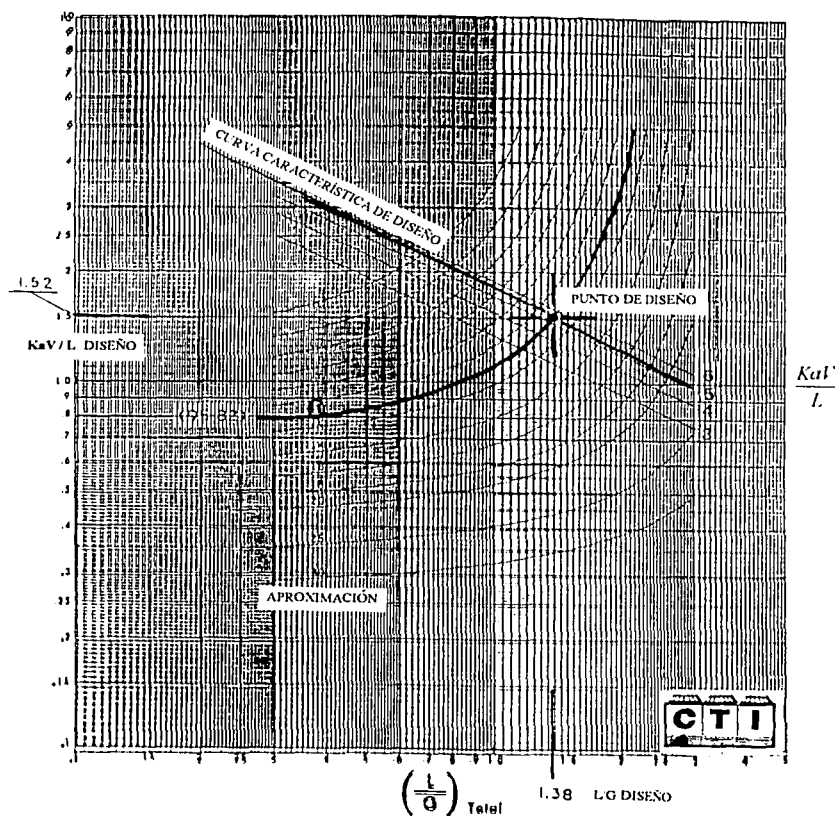
TIPO RELLENO: CF 19060 Ó 1900.

ALTURA DE RELLENO: 3-6 ft.

VELOCIDAD DEL AIRE: 300-750 ft/min.



**FIGURA IV.4: DETERMINACIÓN DE LA PROFUNDIDAD O ALTURA DEL RELLENO
(SUPERPOSICIÓN DE LAS FIGURAS IV.2 Y IV.3)**



EJEMPLO.2

Determinar el punto de diseño para una torre a contra flujo con un relleno tipo salpicueo, si la altura de la torre es mayor a 20 ft bajo las siguientes condiciones de diseño:⁽³⁾

Condiciones de diseño:

GPM = 104,000 (393,640 LPM)

HWT = 120 °F, (49 °C)

CWT = 90°F, (32 °C)

WBT = 82 °F, (27.8 °C)

CFM = 1,476,000 por ventilador

8 celdas (13,000 GPM por celda)

28 ft, (8.5 m) diámetro del ventilador

Motor de 200 HP

L/G= 1.02 diseño

Paso 1

La tarea inicial será localizar el punto de diseño sobre la curva de comportamiento particular para estas condiciones de diseño, figura IV.5. Abriendo el manual del CTI y de curvas de comportamiento para torres de enfriamiento a contra flujo, llegaremos a la sección de temperatura de bulbo húmedo de 82°F y continuaremos hasta llegar a la página correspondiente al rango de 30°F. Sabemos que la aproximación a la temperatura de bulbo húmedo es de 8°F (temperatura de agua caliente de 90°F menos temperatura de bulbo húmedo de 82°F). El trazado

de la curva e intersectando el punto para 8 °F de approach, nos dará una línea base de referencia visual.

Paso 2.

Ahora calculamos el cociente L/G, obteniendo el valor de 1.18. Desplazándonos verticalmente sobre la línea 1.18, llegamos a interceptar la curva de aproximación de 8 °F en el punto de diseño, figura IV.5. La curva característica de diseño es un valor de comportamiento que es proporcionado por los manufacturadores de rellenos y tiene una pendiente negativa con valor de alrededor de -0.6, o en lenguaje plano, correspondiente a un ángulo de 60°. Esta es dibujada y es usada para nuestros propósitos de prueba. Localizando el punto de diseño, podemos entonces trasladarnos horizontalmente hacia la izquierda hasta un valor de $K_a V/L$ de 2.85, manteniendo en mente que el punto de diseño es la intersección de esas tres entidades.

Paso 3.

Seleccionar la curva de comportamiento de los manufacturadores de relleno que sea probable que produzca los resultados requeridos, figura IV.6. Para estas torres grandes tenemos opciones para madera y plástico obstruido que proporcionan los fabricantes. Mas que seleccionar el relleno en base a las promesas de los fabricantes en preferible instalar materiales que hayan sido probados, que sean confiables y que se dispongan de las curvas de comportamiento del fabricante. Todos los fabricantes honrados deberán proveer de las curvas de comportamiento que puedan ser fotocopiadas en transparencias. En el caso de este tipo de torre hemos probado barras V como relleno. La eliminación de calor fue tomada en cuenta en concordancia con los cálculos y curvas del fabricantes.

Paso 4.

El manual del CTI, ilustra las curvas de comportamiento para relleno de salpicuelo tipo barra V (v bar) en varias configuraciones. Se debe seleccionar la curva de comportamiento en base a la trayectoria del aire. En este caso se elige el relleno tipo G con una trayectoria del aire de 20 ft, debido a que es precisamente la longitud de la trayectoria del recorrido del aire de 20 pies la que asegura que se alcancen las condiciones de operación dentro de la torre en este ejemplo.

Se debe superponer la transparencia de la curva de comportamiento, figura IV.6, sobre la parte superior del punto de diseño, con lo cual puede determinarse si este material puede ser utilizado o no, figura IV.7. Los valores del margen de la derecha sobre las curvas de relleno tipo G indican la altura vertical del relleno, el cual es un valor fijo para cada torre. Observe que el punto 48B está arriba del punto de diseño, indicando que esta condición producirá el enfriamiento requerido de diseño. El análisis de Kelly del relleno barra V está basado en un espaciamiento de 8" verticales y 8" horizontales de las barras de relleno instaladas a ángulos rectos al flujo de aire. Cuando se instalan barras paralelas al flujo de aire se genera menor presión estática y el efecto del enfriamiento de la película de relleno más el enfriamiento por salpicón incrementan el comportamiento del material. Esto está indicado en el punto 48A. El punto 48B es el mismo arreglo de barras paralelas al flujo de aire pero con un espaciamiento vertical de 4" y el horizontal de 8".

Cada configuración de barras debe ser probada independientemente debido a que no hay dos secciones transversales que se comporten de la misma manera. Algunas barras con superficies planas horizontales y una pieza central a ángulo recto se diseñan para instalarse a ángulos rectos al

flujo de aire, de manera que el aire genere turbulencia contra la sección vertical. Al instalar la barra paralela al flujo de aire, se pierde el efecto de turbulencia y el comportamiento se degrada. Los criterios importantes para seleccionar el relleno son la integridad de los manufacturadores, el registro de vías y la comprobación para producir curvas de comportamiento exactas que puedan ser usadas en situaciones de reconstrucción.

FIGURA IV. 5: CURVA CARACTERÍSTICA DE DISEÑO DE LA TORRE

WBT = 82 °F

RANGO = 30 °F

ALTITUD = 0 ft

PRESIÓN = 29.921 in Hg

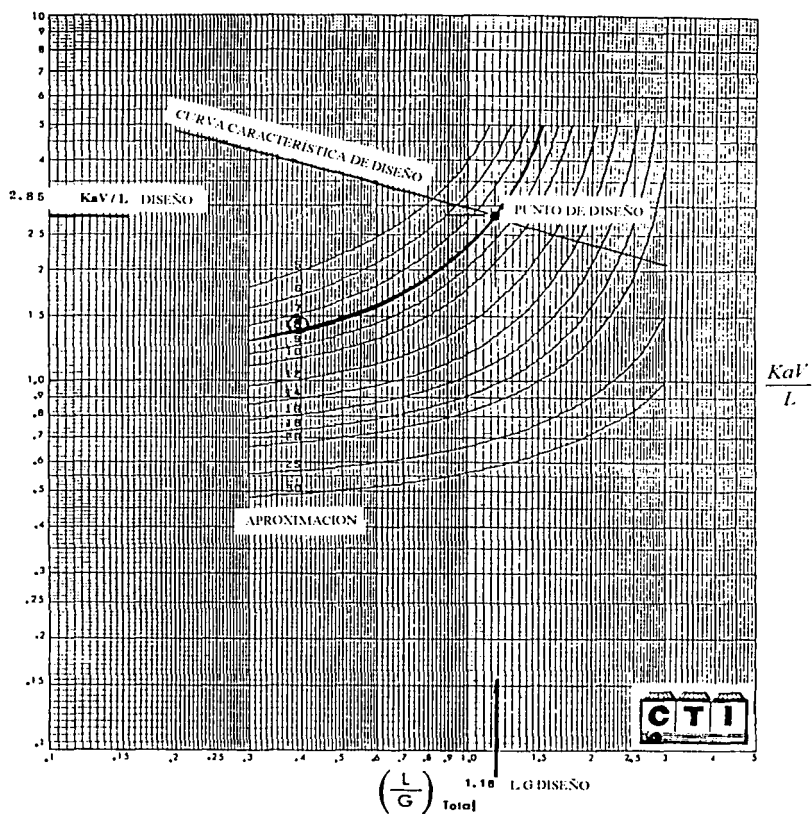
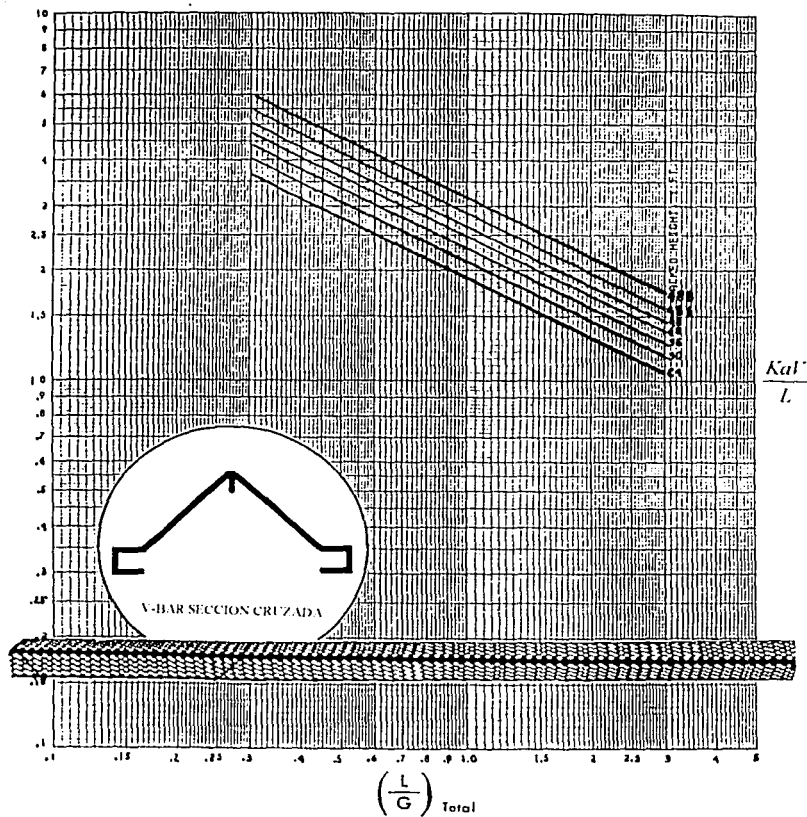
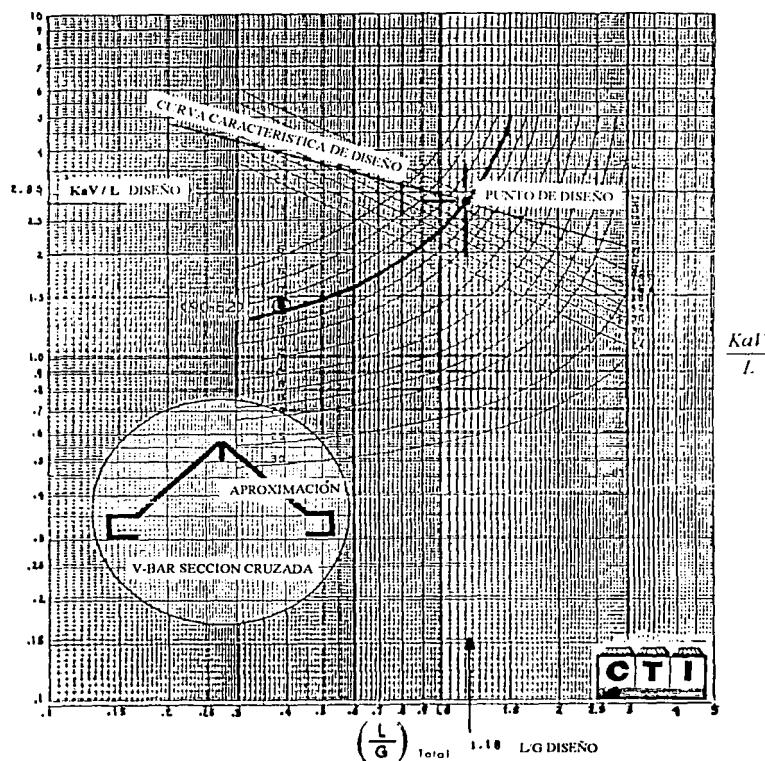


FIGURA IV.6: CURVA CARACTERÍSTICA DEL COMPORTAMIENTO DEL RELLENO

TIPO RELLENO: V-BAR MOD. G, TRAYECTORIA DEL AIRE 20 ft



**FIGURA IV.7: DETERMINACIÓN DE LA PROFUNDIDAD O ALTURA DEL RELLENO
(SUPERPOSICIÓN DE LAS FIGURAS IV.5 Y IV.6)**



EJEMPLO 3:

Determinar los BHP requeridos para enfriar 9000 GPM desde una temperatura de agua caliente de 118 °F hasta la temperatura de agua fría de 92 °F, a una temperatura de bulbo húmedo de 78 °F. Comparar las diferencias existentes entre las alturas de dos rellenos distintos en la misma área. ⁽⁵⁾

Datos del sistema:

Flujo, GPM	9,000 (34,065 LPM)
Dimensiones de la celda, ft	30 x 30 , ($900 \text{ ft}^2 = 836 \text{ m}^2$)
No. De Celdas	2
Diámetro del ventilador, ft	18, (5.5 m)
Temperatura de agua caliente, °F	118, (48 °C)
Temperatura de agua fría, °F	92, (33 °C)
Temperatura de bulbo húmedo, °F	78, (25.5 °C)
Rango, °F	26, (15 °C)
Aproximación, °F	14, (7.5 °C)
Relleno laminar No. 1	Munters 19060 con 6 ft de altura de relleno, (Figuras IV.8-IV.13).
Relleno laminar No. 2	Munters 12060 con 4 ft de altura de relleno, (Figuras IV.14-IV.19).

Paso 1:

Determinar el flujo volumétrico de agua por celda, Q_c :

$$Q_c = Q_t / N$$

Q_t = flujo volumétrico total del agua.

N = número de celdas.

$$9000/2 = 4500 \text{ GPM / Celda.}$$

Paso 2:

Determinar el área activa del relleno por celda, A_r :

$$A_r = L_r W_r$$

L_r = longitud de la celda.

W_r = ancho de la celda.

$$30 \times 30 = 900 \text{ ft}^2.$$

Paso 3:

Determinar la velocidad media del agua sobre el relleno, Q :

$$Q = Q_c / A_r$$

$$4500/900 = 5.0 \text{ GPM / ft}^2$$

Paso 4:

Utilizando la velocidad media sobre el relleno, determinada en el paso 3 y la ecuación dada en seguida, calcular y construir una gráfica de la velocidad sobre el relleno (a densidad de 0.070 lb/ft³) vs L/G. Asumir valores de L/G de 1.0, 1.5 y 2.0. Guardar esta gráfica para utilizarla posteriormente ya que será muy útil. Figura IV.20

$$\text{Velocidad sobre el relleno (FPM)} = \frac{(GPM / FT^2)(8.33)}{(L/G)} \left(\frac{1}{0.070} \right)$$

(0.070 es la densidad del aire en lb/ft³).

Las curvas se grafican para:

Datos de la curva cruzada, figura 20:

L / G	velocidad (FPM)
1.0	595
1.5	397
2.0	298

Paso 5.

Determinar el valor de L / G.

Seleccionar del libro azul de C.T.I., la curva de demanda para el intervalo de enfriamiento de diseño y la temperatura de bulbo húmedo (78°F de bulbo húmedo y 26° de intervalo de enfriamiento). Si alguna de estas condiciones no concuerda con las reportadas en las páginas de intervalo o temperatura de bulbo húmedo, seleccionar las páginas más cercanas e interpolar.

Figura IV.21

Superponer la curva característica de relleno apropiada disponible sobre la página correspondiente a la curva de demanda apropiada.

En la intersección de la línea de velocidad característica del relleno y la curva de aproximación de diseño, tabular los valores L / G para cada relleno, es decir:

	Munters 19060 a 6 ft	Munters 12060 a 4 ft
Velocidad	L / G	L / G
700	1.90	N. A.
600	N.A:	1.89
500	1.86	N.A.
450	N.A.	1.82
300	1.80	1.57

Graficar estas dos curvas sobre la figura IV.20, obtenida en el paso 4. En la intersección de estas dos curvas:

La L/G para Munters 19060 = 1.81 con una velocidad sobre el relleno de 331 FPM.

La L/G para Munters 12060 = 1.68 con una velocidad sobre el relleno de 356 FPM.

Paso 6.

Determinar las libras de aire seco (G') requeridas para el servicio especificado.

$$Q_c = 4500 \text{ GPM} / \text{Celda.}$$

$$L = 4500 \times 8.33 = 37485 \text{ lbs de agua por minuto y por celda.}$$

El L/G para Munters 19060 = 1.81,

por lo tanto $G' = 37485 / 1.81 = 20710 \text{ lbs de aire seco por minuto y por celda.}$

El L/G para Munters 12060 = 1.68,

por lo tanto $G' = 37485 / 1.68 = 22313$ lbs de aire seco por minuto y por celda.

Paso 7.

Determinar la densidad, volumen específico (sp. vol.) y la velocidad para todos los componentes en la torre:

A. Aire de entrada (considerando un 50 % de humedad relativa):

A partir de la carta psicrométrica, anexo A, a la temperatura de bulbo húmedo de diseño y una humedad de 50 %, se lee el volumen específico y la proporción de humedad:

$$\text{sp. vol.} = 14.33 \text{ ft}^3/\text{lb}$$

$$w = 119.5 \text{ gr agua} / 7000 \text{ gr aire seco} = 0.0171$$

$$\text{densidad a la entrada} = (1 + 0.0171) / 14.33 = 0.0710 \text{ lb de mezcla / ft}^3$$

$$\text{velocidad a la entrada} = G' \times v / \text{área de entrada}$$

$$\text{velocidad en Munters 19060} = (20710 * 14.33) / 450 = 659 \text{ FPM}$$

$$\text{velocidad en Munters 12060} = (22313 * 14.33) / 450 = 711 \text{ FPM}$$

B. Aire a la salida.

Calcular la entalpía de la corriente de salida H_{out} :

$$H_{out} = H_{in} + (L/G) \times \text{rango.}$$

Apartir de las tablas psicrométricas buscar la entalpía de entrada a la temperatura de bulbo húmedo de 78°F : $H_{in} = 41.58 \text{ BTU/lb}$ (anexo E)

$$\text{Munters 19060, } H_{\text{out}} = 41.58 + (1.81 \times 26) = 88.64 \text{ BTU / lb}$$

$$\text{Munters 12060, } H_{\text{out}} = 41.58 + (1.68 \times 26) = 85.26 \text{ BTU / lb}$$

C. Utilizando la Tabla psicrométrica para aire saturado a la entalpía de salida calculada (H_{out}), leer la densidad y el volumen específico del aire de salida.

$$\text{Munters 19060, } \text{densidad}_{\text{out}} = 0.06764 \text{ lb de mezcla / ft}^3 \text{ (anexo G)}$$

$$\text{Munters 19060, } \text{sp. vol.}_{\text{out}} = 15.619 \text{ ft}^3/\text{lb (anexo I)}$$

$$\text{Munters 12060, } \text{densidad}_{\text{out}} = 0.06791 \text{ lb de mezcla / ft}^3 \text{ (anexo G)}$$

$$\text{Munters 12060, } \text{sp. vol.}_{\text{out}} = 15.515 \text{ ft}^3/\text{lb (anexo I)}$$

D. Después en el ventilador:

$$\text{CFM / ventilador} = G' \times \text{sp.vol.}_{\text{out}}$$

$$\text{Munters 19060, CFM/ventilador} = 20710 \times 15.619 = 323,469 \text{ CFM}$$

$$\text{Munters 12060, CFM/ventilador} = 22313 \times 15.515 = 346,186 \text{ CFM}$$

densidad en el ventilador = densidad a la salida.

E. En el eliminador de rocío:

$$\text{velocidad del eliminador} = G' \times \text{sp.vol.}_{\text{out}} / \text{área de la celda}$$

Munters 19060, velocidad del eliminador = $20710 \times 15.619 / 900 = 359$ FPM

Munters 12060, velocidad del eliminador = $22313 \times 15.515 / 900 = 385$ FPM

F. A través del relleno y del sistema de espreo:

densidad promedio en el relleno y el rociador = $(\text{densidad}_{in} + \text{densidad}_{out}) / 2$

sp. vol. en el relleno y el rociador = $(\text{sp. vol.}_{in} + \text{sp. vol.}_{out}) / 2$

Munters 19060, densidad promedio en el relleno = $(0.0710 + 0.06764) / 2 = 0.6932$

Munters 19060, sp vol promedio en el relleno = $(14.33 + 15.619) / 2 = 14.975$

Munters 12060, densidad promedio en el relleno = $(0.0710 + 0.06791) / 2 = 0.6946$

Munters 12060, sp vol promedio en el relleno = $(14.33 + 15.515) / 2 = 14.923$

velocidad sobre el relleno = $G' \times \text{sp vol} / \text{área de la celda}$

Munters 19060, velocidad a través del relleno = $20710 \times 14.975 / 900 = 345$ FPM

Munters 12060, velocidad a través del relleno = $22313 \times 14.923 / 900 = 370$ FPM

Paso 8 . - Calcular las Pérdidas de Presión.

A. Caídas de presión en la entrada a los Louver. Usar la figura IV.22, que es una representación generalizada de las caídas de presión en los Louvers a 3 cabezales de velocidad.

Munters 19060 a 659 FPM = 0.077 in de agua corregido para una densidad de entrada de 0.070 :

$$= 0.077 \times 0.0710 / 0.070 = 0.078 \text{ in de agua}$$

Munters 12060 a 711 FPM = 0.089 in de agua corregido para una densidad de entrada de 0.0710

$$= 0.089 \times 0.0710 / 0.070 = 0.090 \text{ in de agua}$$

B. Pérdidas de presión en el relleno y en sistema de espreo:

para Munters 19060 a 345, 5 GPM/ft² y 6 ft de altura, usar la curva número 18.

Relleno más esprea = 0.160 in de agua a densidad de 0.070 lb/ft³

corrigiendo para una densidad promedio en el relleno (0.06932):

$$= 0.06931 / 0.070 \times 0.160 = 0.158 \text{ in de agua.}$$

para Munters 12060 a 370, 5 GPM/ft² y 4 ft de altura, usar la curva número 24.

Relleno más esprea = 0.181 in de agua a densidad de 0.070 lb/ft³

corrigiendo para una densidad promedio en el relleno (0.06946):

$$= 0.06946 / 0.070 \times 0.181 = .180 \text{ in de agua.}$$

C. Caídas de presión en el eliminador de rocío, entrada plena (plenum) y ventilador. Usar la figura IV.22, otra representación generalizada de pérdidas:

para Munters 19060 a 350 FPM = 0.0138 in de agua a 0.070 lb/ft³

corrigiendo para una densidad de salida (0.06764):

$$= 0.038 \times 0.06764 / 0.070 = 0.037 \text{ in de agua.}$$

para Munters 12060 a 385 FPM = 0.0043 in de agua a 0.070 lb/ft³

corrigiendo para una densidad de salida (0.06791):

$$= 0.043 \times 0.06791 / 0.070 = 0.042 \text{ in de agua.}$$

Paso 9 . Sumar las caídas de presión:

Entrada a los Louvers + (relleno más esprea) + (eliminador de rocío) + plenum + entrada al ventilador)

para Munters 19060, $H_t = 0.078 + 0.158 + 0.037 = .273 \text{ in de agua.}$

para Munters 12060, $H_t = 0.090 + 0.180 + 0.042 = .312 \text{ in de agua.}$

Paso 10. Calcular la potencia al freno.

BHP = (CFM / ventilador x (H_t + H_v)) / (6356 x eficiencia)

área neta del disco = 226 ft²

eficiencia = 75 %

para Munters 19060, BHP_{requerido} = 26.3 HP

para Munters 12060, BHP_{requerido} = 32.3 HP

FIGURA IV.8: CURVA CARACTERÍSTICA DEL COMPORTAMIENTO DEL RELLENO

TIPO RELLENO: MUNTERS 12060 W / BOQUILLAS MUNTERS CON ORIFICIO B Y C

ALTURA DE RELLENO: 2 ft.

VELOCIDAD DEL AIRE: 300-600 f.p.m.

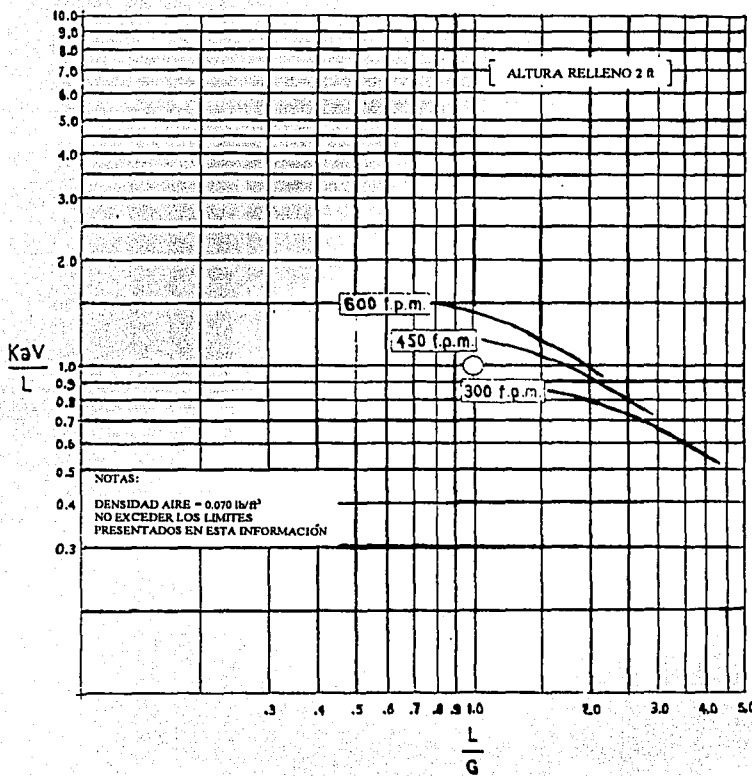


FIGURA IV.9: PÉRDIDAS DE PRESIÓN EN EL RELLENO Y EL SISTEMA DE ESPREO

TIPO RELLENO: MUNTERS 12060 W / BOQUILLAS MUNTERS CON ORIFICO B Y C

ALTURA DE RELLENO: 2 ft

DENSIDAD PROMEDIO DEL AIRE: 0.700 lb/ft³

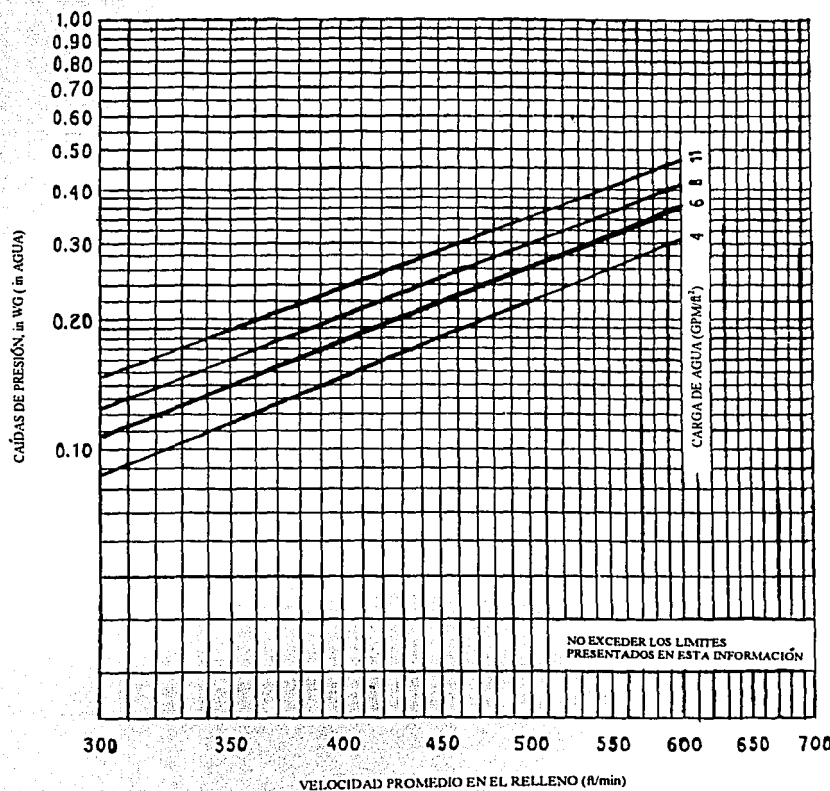


FIGURA IV.10: CURVA CARACTERÍSTICA DEL COMPORTAMIENTO DEL RELLENO

TIPO RELLENO: MUNTERS 12060 W / BOQUILLAS MUNTERS CON ORIFICIO B Y C

ALTURA DE RELLENO: 3 ft.

VELOCIDAD DEL AIRE: 300-600 f.p.m.

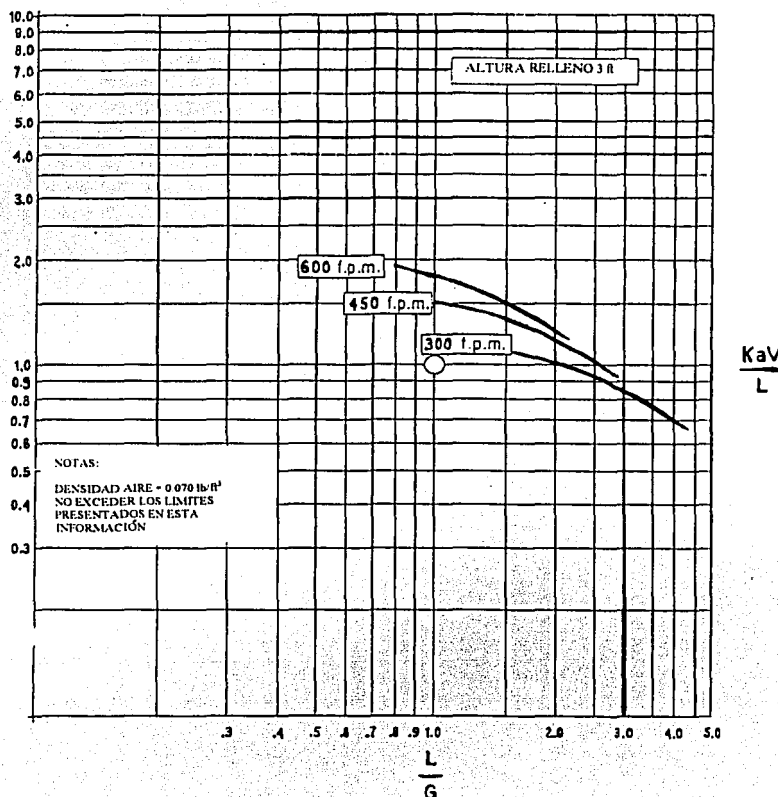


FIGURA IV.11: PÉRDIDAS DE PRESIÓN EN EL RELLENO Y EL SISTEMA DE ESPREO

TIPO RELLENO: MUNTERS 12060 W / BOQUILLAS MUNTERS CON ORIFICO B Y C

ALTURA DE RELLENO: 3 ft

DENSIDAD PROMEDIO DEL AIRE: 0.700 lb/ft³

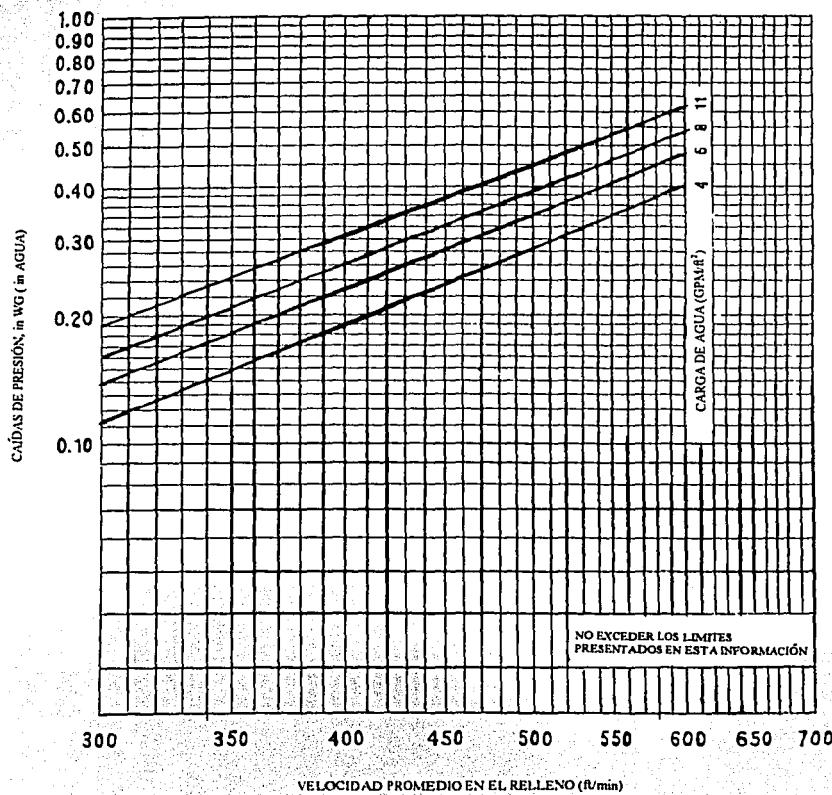


FIGURA IV.12: CURVA CARACTERÍSTICA DEL COMPORTAMIENTO DEL RELLENO

TIPO RELLENO: MUNTERS 12060 W / BOQUILLAS MUNTERS CON ORIFICIO B Y C

ALTURA DE RELLENO: 4 ft.

VELOCIDAD DEL AIRE: 300-600 f.p.m.

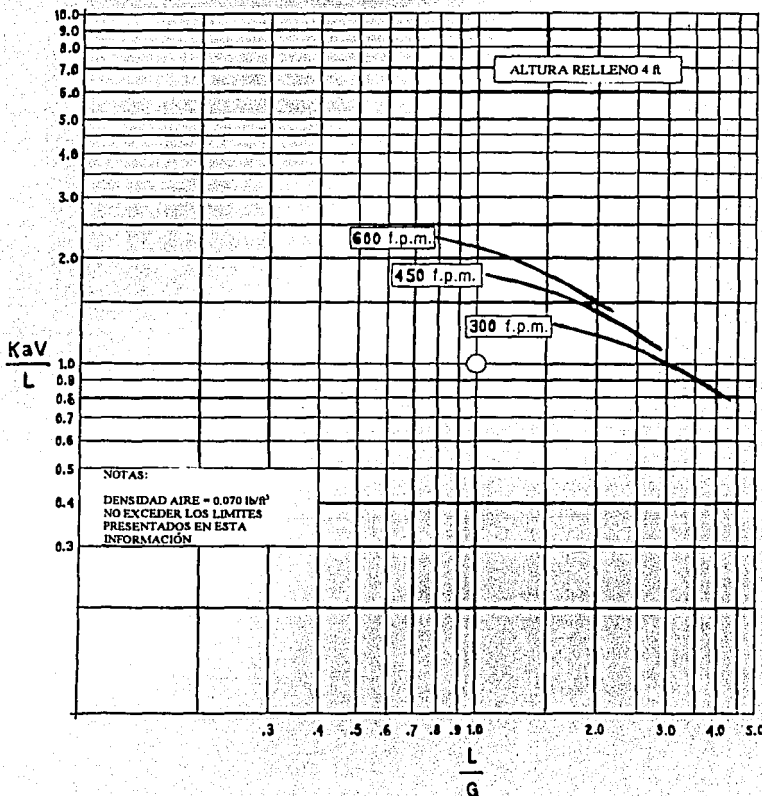


FIGURA IV.13: PÉRDIDAS DE PRESIÓN EN EL RELLENO Y EL SISTEMA DE ESPREO

TIPO RELLENO: MUNTERS 12060 W / BOQUILLAS MUNTERS CON ORIFICO B Y C

ALTURA DE RELLENO: 4 ft

DENSIDAD PROMEDIO DEL AIRE: 0.700 lb/ft³

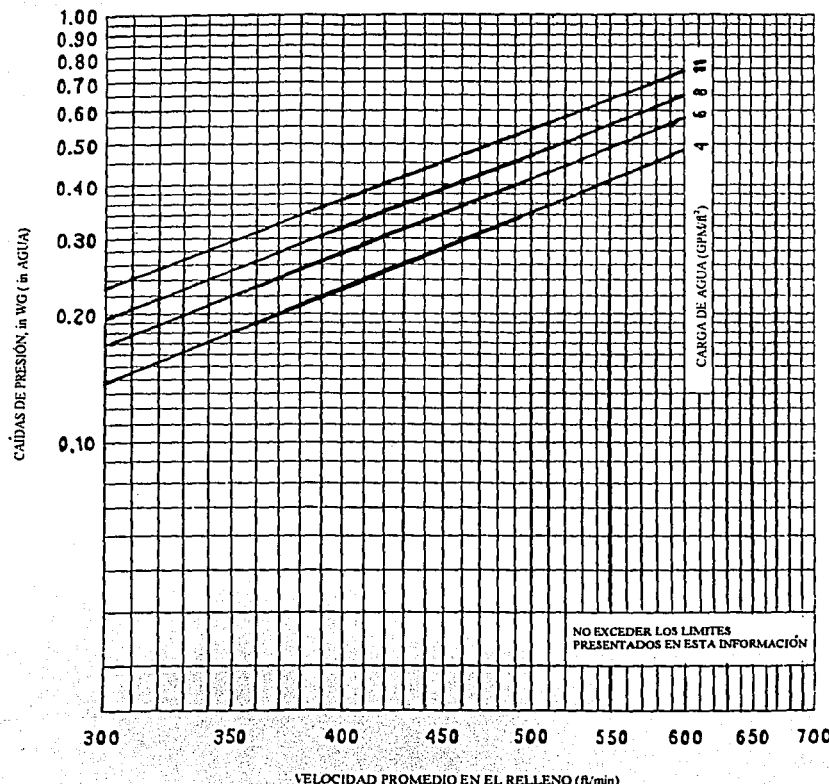


FIGURA IV.14: CURVA CARACTERÍSTICA DEL COMPORTAMIENTO DEL RELLENO

TIPO RELLENO: MUNTERS 19060 W / BOQUILLAS MUNTERS CON ORIFICIO B Y C

ALTURA DE RELLENO: 2 ft.

VELOCIDAD DEL AIRE: 300-700 f.p.m.

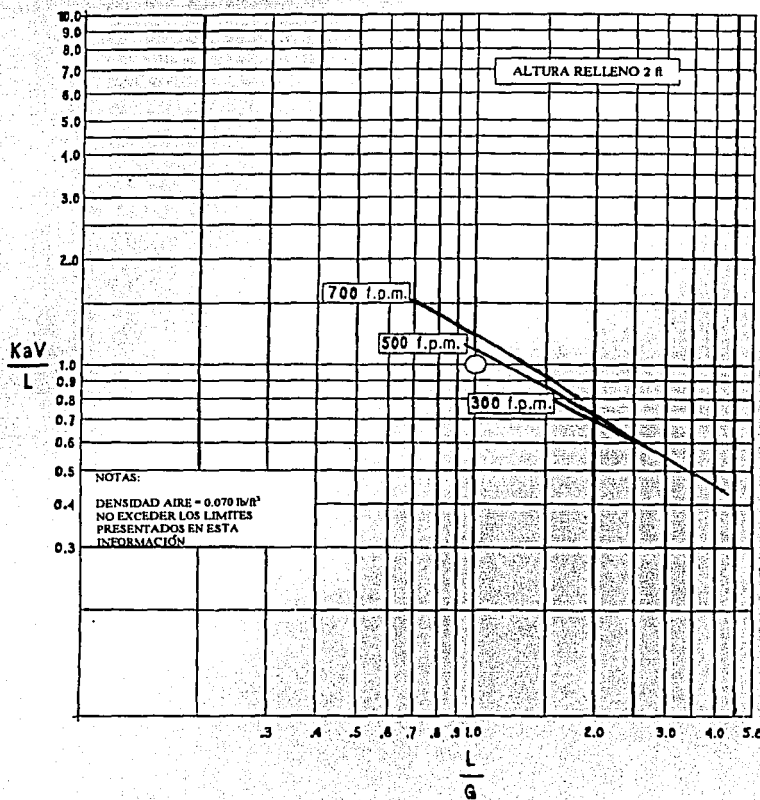


FIGURA IV.15: PÉRDIDAS DE PRESIÓN EN EL RELLENO Y EL SISTEMA DE ESPREO

TIPO RELLENO: MUNTERS 19060 W / BOQUILLAS MUNTERS CON ORIFICO B Y C

ALTURA DE RELLENO: 2 ft

DENSIDAD PROMEDIO DEL AIRE: 0.700 lb/ft³

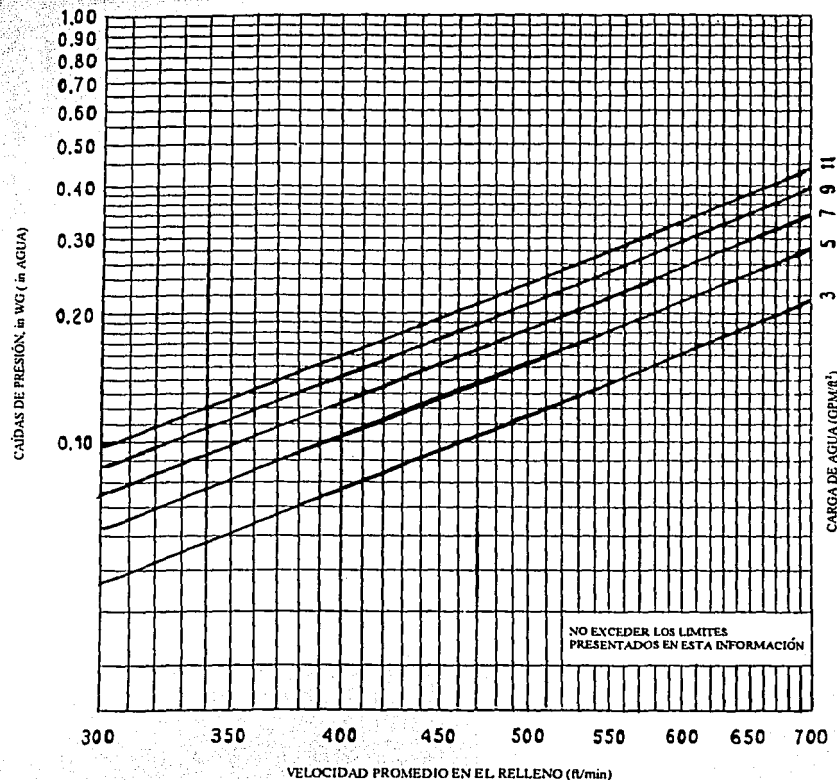


FIGURA IV.16: CURVA CARACTERÍSTICA DEL COMPORTAMIENTO DEL RELLENO

TIPO RELLENO: MUNTERS 19060 W / BOQUILLAS MUNTERS CON ORIFICIO B Y C

ALTURA DE RELLENO: 4 ft.

VELOCIDAD DEL AIRE: 300-700 f.p.m.

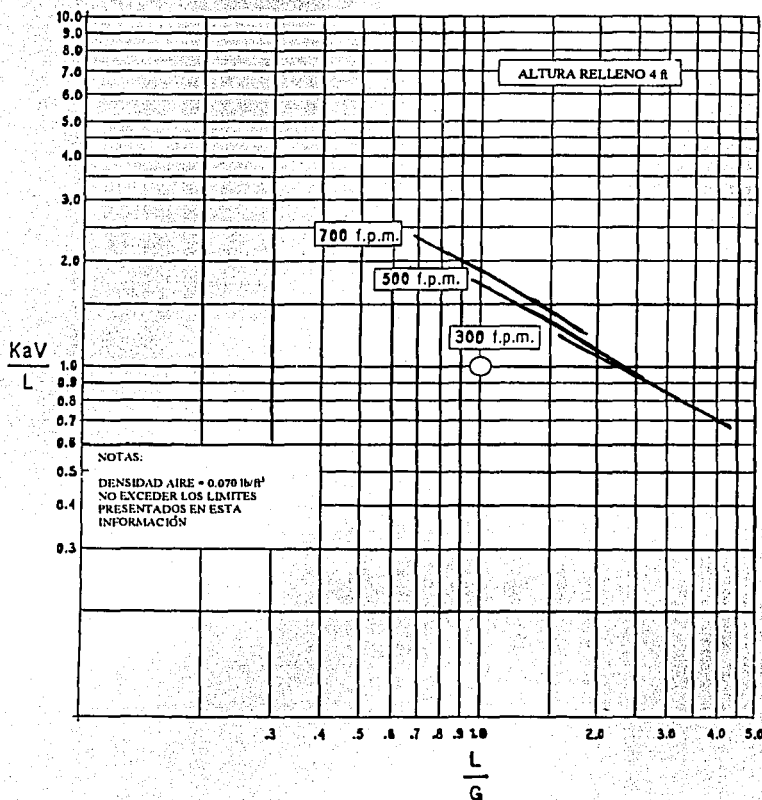


FIGURA IV.17: PÉRDIDAS DE PRESIÓN EN EL RELLENO Y EL SISTEMA DE ESPREO

TIPO RELLENO: MUNTERS 19060 W / BOQUILLAS MUNTERS CON ORIFICO B Y C

ALTURA DE RELLENO: 4 ft

DENSIDAD PROMEDIO DEL AIRE: 0.700 lb/ft³

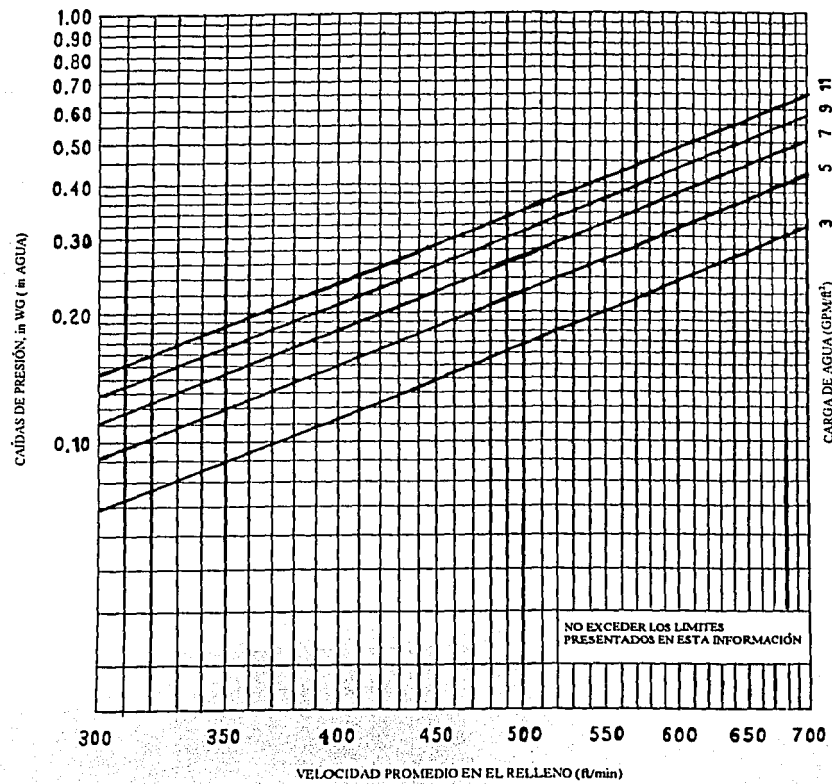


FIGURA IV.18: CURVA CARACTERÍSTICA DEL COMPORTAMIENTO DEL RELLENO

TIPO RELLENO: MUNTERS 19060 W / BOQUILLAS MUNTERS CON ORIFICIO B Y C

ALTURA DE RELLENO: 6 ft.

VELOCIDAD DEL AIRE: 300-700 f.p.m.

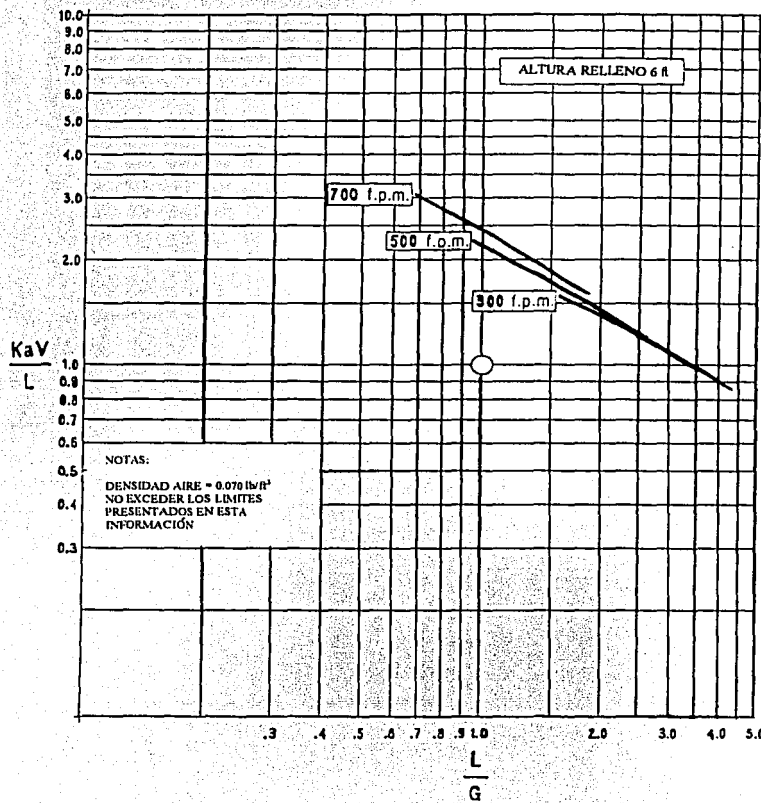


FIGURA IV.19: PERDIDAS DE PRESIÓN EN EL RELLENO Y EL SISTEMA DE ESPREO

TIPO RELLENO: MUNTERS 19060 W / BOQUILLAS MUNTERS CON ORIFICO B Y C

ALTURA DE RELLENO: 6 ft

DENSIDAD PROMEDIO DEL AIRE: 0.700 lb/ft³

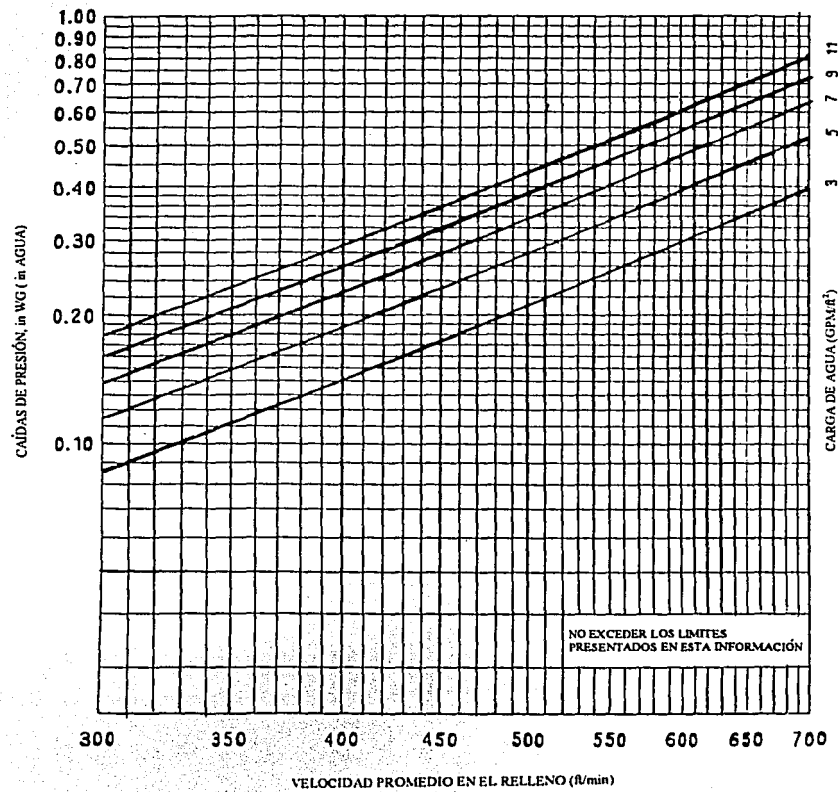


FIGURA IV.20: DETERMINACIÓN DEL VALOR (L/G) Y VELOCIDAD EN EL RELLENO

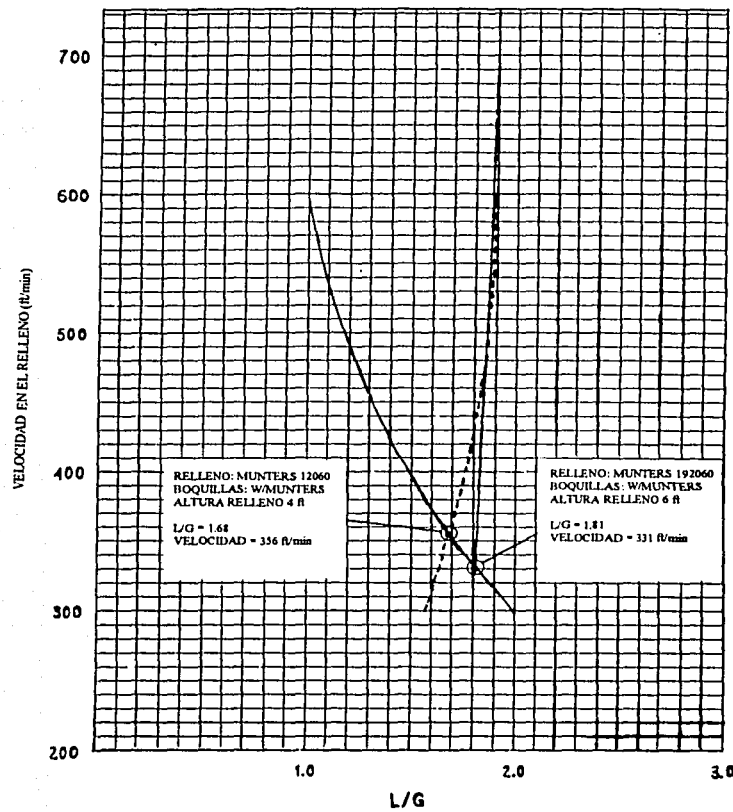


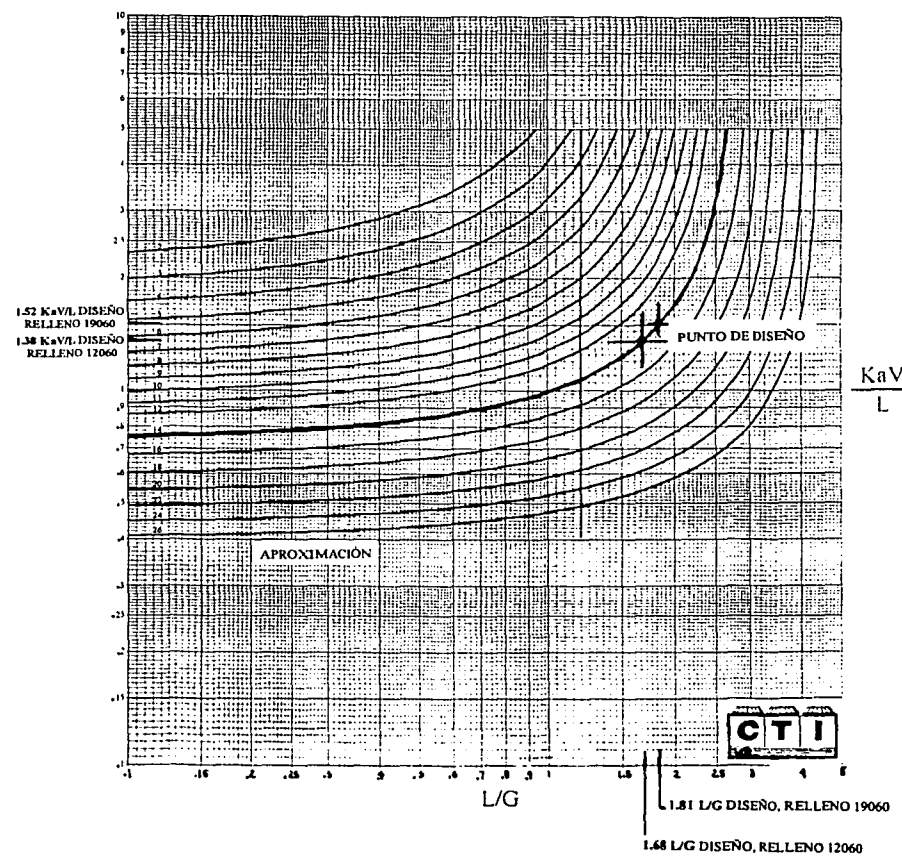
FIGURA IV.21: CURVA CARACTERÍSTICA DE DISEÑO DE LA TORRE

WBT = 78 °F

RANGO = 26 °F

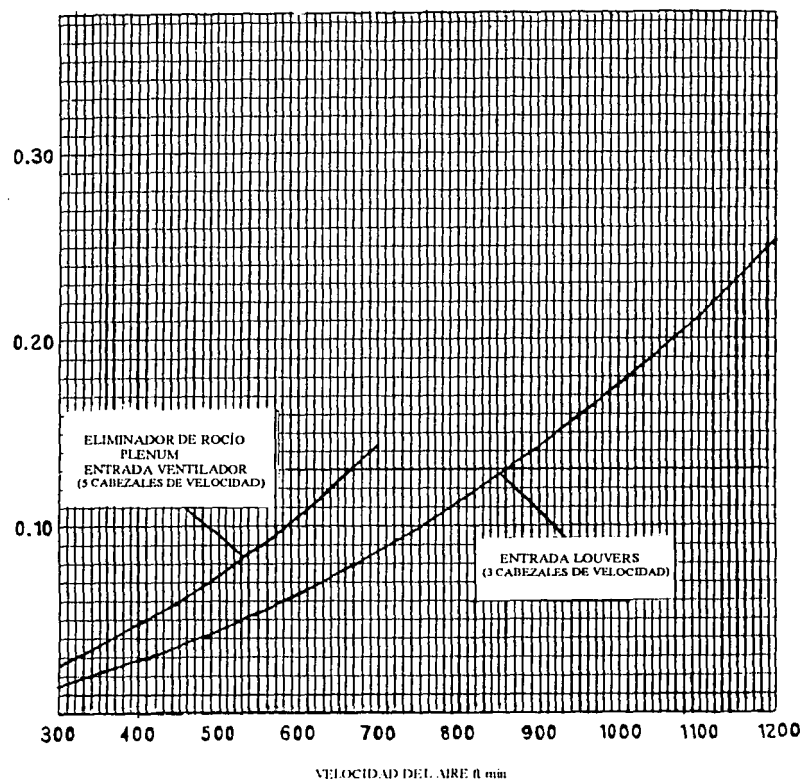
ALTITUD = 0 ft

PRESIÓN = 29.921 in Hg



**FIGURA IV.22: PÉRDIDAS DE PRESIÓN EN LA ENTRADA DE LOS LOUVERS Y EN EL
ELIMINADOR DE ROCÍO-PLENUM-ENTRADA DEL VENTILADOR**

CAÍDAS DE PRESIÓN, $\frac{\text{in WG}}{\text{in AGUA}}$



IV.5 ANÁLISIS TÉRMICO EN UNA TORRE DE ENFRIAMIENTO DE TIRO MECÁNICO A CONTRAFLUJO.

En esta sección se llevará a cabo un análisis térmico completo de una torre de enfriamiento de tiro mecánico a contra flujo. Las condiciones de diseño térmico para la torre de enfriamiento son las siguientes:

Flujo volumétrico = 6,333 GPM, (23,970 LPM)

Temperatura de agua caliente = 130.0 °F, (54 °C)

Temperatura de agua fría = 90 °F, (32 °C)

Temperatura de bulbo húmedo = 79 °F, (26 °C)

Humedad relativa = 50 %

Presión barométrica = 29.9212 in Hg, (1 atm)

Rango = temperatura agua caliente - temperatura de agua fría = 130.0 - 90 = 40.0 °F, (22 °C)

Aproximación = temperatura agua fría - temperatura de bulbo húmedo = 90 - 79 = 11°F, (11 °C)

Número de celdas = 1

Utilizando la carta psicrométrica, anexo A, las propiedades psicrométricas del aire ambiental correspondientes a estas condiciones de diseño están dadas enseguida:

Temperatura de bulbo seco = 94.92 °F.

ν_i = Volumen específico = 14.384 ft³ / lb aire seco

γ_i = Densidad mezcla aire-vapor = $(1 + 0.01779)/14.384 = 0.07076 \text{ lb mezcla / ft}^3$

h_f = Entalpía = 42.62 BTU/lb aire seco (anexo E)

La torre de enfriamiento por celda que será analizada será de 37 ft x 37 ft en el plano interior de las paredes y tiene una altura de 8.5 ft en la altura de aire de entrada. La celda es de tiro inducido con un ventilador de 26 ft de diámetro Marca Hudson y la altura de la chimenea de 6.5 ft. El área plana de relleno es interrumpida por una columna sencilla que mide 2 ft x 2 ft de sección transversal. Esta columna sirve para soportar el ventilador y el reductor de velocidad de ángulo recto. La entrada de aire a la celda está abierta por sus cuatro lados. El sistema de relleno está comprendido de una profundidad de 6 ft de tipo celular 19060 o similar sobre una estructura de acero, los eliminadores de rocío del tipo celular de PVC.

A partir de la descripción previa podemos calcular lo siguiente:

IV 5.1. - CÁLCULOS PRELIMINARES:

A. Flujo de agua por celda, Q_c :

$$Q_c = Q_t / N = 6333 \text{ GPM} / 1 = 6333 \text{ GPM}$$

Q_t = flujo volumétrico total del agua.

$N = 1$ = número de celdas.

B. Área plena efectiva del relleno por celda, A_r :

$$A_r = L_f W_f (1 - B_f) = (37 \text{ ft})(37 \text{ ft})(1 - 0.005) = 1301 \text{ ft}^2$$

L_f = longitud de la celda.

W_f = ancho de la celda.

B_f = fracción bloqueada del relleno

C. Velocidad del agua sobre el relleno:

$$Q = Q_c / A_r = (6333 \text{ GPM}) / (1301 \text{ ft}^2) = 4.87 \text{ GMP / ft}^2$$

Q = flujo de agua por unidad de área.

D. Área total en la entrada del aire, A_{ii} :

$$A_{ii} = H_i(2*N*L_f + 2*W_f) = (8.5 \text{ ft})[2(1)(37\text{ft}) + 2(37\text{ft})] = 1258 \text{ ft}^2$$

H_i = altura de la entrada de aire.

E. Área por celda en la entrada del aire, A_i :

$$A_i/N = (1258 \text{ ft}^2)/1 = 1258 \text{ ft}^2$$

F. Área neta en la descarga del ventilador, A_n :

$$A_n = \pi(D_f^2 - D_h^2)/4 = \pi[(26\text{ft})^2 - (6.5\text{ft})^2]/4 = 497.7 \text{ ft}^2$$

D_f = diámetro del ventilador.

D_h = diámetro del impulsor en el ventilador.

G. Área en la descarga de la chimenea, A_s :

$$A_s = A_n = 497.7 \text{ ft}^2$$

IV.5.2 EL VALOR DE L/G REQUERIDO

Con el fin de determinar el valor requerido de L/G , es necesario resolver la ecuación de Merkel simultáneamente con la ecuación de las características térmicas para el relleno tipo celular.

La ecuación característica térmica para una profundidad de 6 ft de relleno tipo celular 19060 o similar puede ser expresada en la forma:

$$KaV/L = K (L/G)^n$$

Donde el coeficiente, K , es una función de la carga de agua en el relleno, del rango y de la altura de entrada del agua. De acuerdo a los diseñadores de las torres de enfriamiento la característica térmica para este tipo de relleno es de:

$$KaV/L = 2.201 (L/G)^{-0.663}$$

La superposición de estas líneas características sobre el conjunto de gráficas del libro azul, la figura IV.23 para una temperatura de bulbo húmedo de 79 °F y un rango de 40°F, da como resultado un valor aproximado de L/G de 1.342 en la intersección de la línea de aproximación de 11° obtenemos un valor de $KaV / L = 1.811$.

La densidad de flujo másico de aire es, G :

$$G = L/(L/G) = (40.56 \text{ lb/min/ft}^2) / 1.342 = 30.22 \text{ lb/min/ft}^2$$

Flujo másico de aire por celda, G_c :

$$G_c = G A_f = (30.22 \text{ lb/min/ft}^2) (1301 \text{ ft}^2) = 39300 \text{ lb/min.}$$

IV.5.3 CÁLCULO DE LAS PROPIEDADES PSICROMÉTRICAS DEL AIRE

Habiendo establecido el valor de L/G en el punto de diseño, podemos ahora calcular las propiedades psicrométricas del aire en la entrada, en la salida, en el eliminador de rocío, en el relleno y en el ventilador de la torre de enfriamiento.

A. Condiciones de entrada del aire:

$$h_i = \text{Entalpía del aire que entra al relleno} = 42.42 \text{ BTU/Lb} \text{ (anexo E)}$$

$$w_{si} = \text{Proporción de humedad del aire que entra al relleno} = 0.01779 \text{ (anexo A)}$$

$$\rho_i = \text{Densidad del aire que entra al relleno} = 0.07076 \text{ Lb/ft}^3$$

$$V_i = \text{Velocidad de entrada del aire} = G_c (1+w_{si}) / \rho_i / A_i$$

$$= (39300 \text{ lb/min})(1+0.01779)/(0.07076 \text{ lb/ft}^3)/(1258 \text{ ft}^2) = 449.4 \text{ FPM}$$

B. Condiciones de salida del aire:

$$h_o = \text{Entalpía del aire que sale del relleno} = h_i + c_p [(L/G)R + (w_{so}-w_{si})(T_{cw}-T_o)] = \\ (42.42 \text{ Btu/lb}) + (1 \text{ Btu/lb/}^\circ\text{F}) [(1.342)(40 \text{ }^\circ\text{F}) + (0.06465-0.01779)(90 \text{ }^\circ\text{F}-32 \text{ }^\circ\text{F})]$$

$$h_o = 98.82 \text{ Btu/lb}$$

$$w_{so} = \text{Proporción de humedad del aire que sale del relleno} = 0.06465 \text{ (anexo K)}$$

$$T_{wb} = \text{Temperatura de bulbo húmedo a la salida del relleno} = 112.66 \text{ }^\circ\text{F (anexo E)}$$

$$\rho_o = \text{Densidad del aire en la salida} = 0.06686 \text{ lb/ft}^3 \text{ (anexo G)}$$

C. Condiciones en el eliminador de rocío:

$$V_e = \text{velocidad del aire a través del eliminador de rocío}$$

$$= G (1+w_{\infty})/\rho_0 = (30.22 \text{ lb/min/ft}^2)(1+0.06465)/(0.06686 \text{ lb/ft}^3) = 481 \text{ FPM}$$

D. Condiciones en el relleno tipo celular

V_f = Velocidad promedio del aire a través del relleno

$$= [V_i(A_i/A_r) + V_e]/2$$

$$= [(449.4 \text{ FPM})(1258 \text{ ft}^2)(1301 \text{ ft}^2) + 481.3 \text{ FPM}] /2 = 458 \text{ FPM}$$

E. Condiciones en el ventilador:

F = Flujo volumétrico del aire por ventilador = $G_c (1 + w_{\infty})/\rho_0$

$$= (39300 \text{ lb/min})(1+0.06465)/(0.06686 \text{ lb/ft}^3) = 625900 \text{ CFM}$$

V_s = Velocidad del aire en la descarga de la chimenea

$$= F/A_s = (625900 \text{ CFM})/(497.7 \text{ ft}^2) = 1257 \text{ FPM}$$

IV5.4 CÁLCULO DE LA PRESIÓN ESTÁTICA TOTAL

Las caídas de presión a través de la torre de enfriamiento se calculan mediante las siguientes expresiones:

A. Pérdidas en la entrada, ρ_i :

$$\rho_i = 0.6 \gamma_i V_i^2/2g$$

$$\rho_i = 0.6(0.07076 \text{ Lb/ft}^3) (449.4 \text{ FPM})^2/[2(115800 \text{ ft/min}^2)]$$

$$\rho_i = 0.03702 \text{ PSF} = 0.007128 \text{ in H}_2\text{O}$$

IV.5.5 CÁLCULO DE LA POTENCIA:

A. Presión estática, ρ_s :

$$\rho_s = \rho_i + \rho_l + \rho_{lw} + \rho_r + \rho_e + \rho_d + \rho_t$$

$$\rho_s = (0.007128 + 0 + 0.03476 + 0.2299 + 0.03023 + 0.0136 + 0) \text{ in H}_2\text{O}$$

$$\rho_s = 0.3157 \text{ in H}_2\text{O}$$

B. Velocidad de presión (presión dinámica), ρ_v :

$$\rho_v = \gamma_o V_i^2 / 2g$$

$$\rho_v = (0.06686 \text{ Lb}/\text{ft}^3)(1257 \text{ FPM})^2 / [2(115800 \text{ ft}/\text{min}^2)]$$

$$\rho_v = 0.4564 \text{ PSF} = 0.08788 \text{ in H}_2\text{O}$$

C. Presión total:

$$\rho_t = \rho_s + \rho_v = 0.3157 + 0.08788 = 0.4035 \text{ in H}_2\text{O} = 2.095 \text{ PSF}$$

D. Potencia de salida del motor, (potencia al freno):

$$\text{BHP} = F\rho_t / (0.78 * 0.95)$$

$$\text{BHP} = (625900 \text{ CFM}) (2.095 \text{ PSF}) / [(0.78)(0.95)]$$

$$\text{BHP} = 1770000 \text{ ft Lb/min} = 53.64 \text{ HP}$$

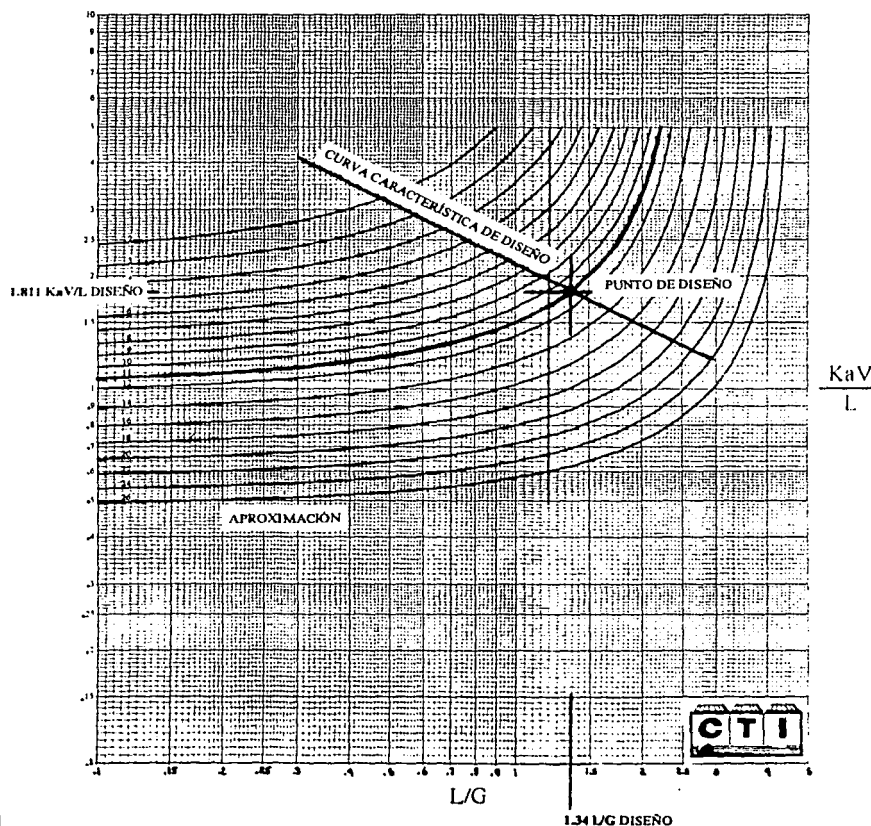
FIGURA IV. 23: CURVA CARACTERÍSTICA DE DISEÑO DE LA TORRE

WBT = 79 °F

RANGO = 40 °F

ALTITUD = 0 ft

PRESIÓN = 29.921 in Hg



IV.6 ANÁLISIS DEL TIRO INDUCIDO POR EL VENTILADOR

IV 6.1 IMPORTANCIA DE LA GEOMETRÍA DEL VENTILADOR.

La presión total contra la cual el ventilador de la torre de enfriamiento debe operar, es la suma total de las presiones estáticas en la entrada, relleno, eliminador de rocío y la presión de velocidad efectiva (presión dinámica) en el ventilador. La presión dinámica real en el ventilador, es el valor de $v^2/2g$ basado en el área neta libre del ventilador, es decir, el área total sobre el diámetro del ventilador menos el área ocupada por el disco. La presión velocidad contra la cual el ventilador debe trabajar puede ser reducida. Sin embargo añadiendo unos arreglos en la base de la descarga del ventilador. Teóricamente la presión dinámica es reducida hasta el valor de $v^2/2g$ basado en el arreglo de la salida plana del ventilador. Sin embargo, en realidad debido a que el perfil de velocidad no cubre completamente con los confines del ventilador, la presión velocidad efectiva es algunas veces un poco mayor que $v^2/2g$ en la salida del ventilador. Es común asumir que la recuperación del perfil de velocidad es del 70 % completo en la salida del ventilador. Con esta consideración, la presión dinámica efectiva es calculada como:

$$P_{v, \text{efect}} = (v^2/2g)_{\text{fan}} - 0.7 [(v^2/2g)_{\text{fan}} - (v^2/2g)_{\text{salida}}]$$

La cantidad sustraída de la presión dinámica real del ventilador es usualmente denominada el "static regain" o la recuperación de velocidad.

La eficiencia del comportamiento del ventilador puede ser realizada a través de un control cuidadoso de los aspectos de la geometría del ventilador, principalmente la configuración de entrada a la chimenea del ventilador y los claros entre las aspas del mismo. Esto se consigue proveyendo una entrada suave a la boca del cinturón del ventilador y manteniendo un claro mínimo entre las aspas del ventilador y las paredes de la chimenea, además con ello se minimiza la formación de remolinos y el flujo volumétrico de aire para que la potencia del ventilador sea óptima.

Otro factor significante en la efectividad del sistema del manejo de aire es la geometría de la estructura debajo de la entrada del ventilador. Algunas consideraciones importantes son:

1. La interrelación de la altura plena para el área plana de la celda y el diámetro del ventilador.
2. En torres rectilíneas la interrelación de la longitud de la celda y anchura es importante.
3. Para todas las torres de tiro mecánico es crucial evitar colocar grandes obstrucciones de flujo de aire inmediatamente debajo de la entrada del ventilador.

Debido a que la chimenea del ventilador para nuestra torre de enfriamiento son cilíndricos La presión total en el ventilador es calculada como la suma de la presión total estática y la presión de velocidad en el ventilador, P_v . La presión dinámica en el ventilador, se calcula como sigue:

$$P_{v,fan} = 12 \text{ in}/\text{ft} \times (\rho_a/62.4 \text{ LB agua}/\text{ft}^3) V_{fan}^2/2g$$

$$P_{v,fan} = (12 \times 0.06793 \times 23.65^2) / (62.4 \times 64.4) = 0.113 \text{ IWG}$$

La presión total en el ventilador es entonces calculado como:

$$P_T = P_s + P_{v,fan}$$

La potencia de salida del motor del ventilador requerida también se puede calcular a partir de la siguiente fórmula:

Potencia de salida del motor = (CFM fan x PT) / (6356 x eficiencia del ventilador x eficiencia del reductor).

Donde:

6356 es un factor de conversión de unidades.

el rango de eficiencia del ventilador típicamente es de 0.75 a 0.80

el rango de eficiencia de los reductores varía entre 0.95 a 0.97

Uno debería ser cuidadoso de que la eficiencia del ventilador derivados a partir de los datos del fabricante sean optimistas y basados sobre modelos de prueba a escala bajo condiciones absolutamente perfectas. Los valores de la curva de eficiencia deberán por lo tanto ser establecidos dentro de un 5 a 10 % de error.

IV.7 HIDRÁULICA EN LA TORRE DE ENFRIAMIENTO

El flujo volumétrico del agua a través de una boquilla de la torre de enfriamiento simple, deberá ser calculada en unidades de CFS utilizando la siguiente fórmula:⁽¹¹⁾

$$Q_n = C_D A_N (2gH)^{0.5}$$

Donde

Q_N = Velocidad de flujo en la boquilla, CFS

C_D = Coeficiente de descarga de la boquilla

A_N = Área de entrada del orificio de descarga de la boquilla, ft^2

g = Constante gravitacional = 32.2 ft/s

H = Cabezal estático sobre el orificio de elevación de la boquilla.

El cabezal estático sobre el orificio de la boquilla es igual a la diferencia en la elevación del nivel de agua y la elevación del orificio de la boquilla menos las pérdidas de entrada a la tubería de distribución. Las pérdidas por esfuerzo viscoso que ocurren a lo largo de la longitud de la tubería que llega a la boquilla y las pérdidas que tienen lugar desde la tubería hasta la boquilla.

Con el fin de minimizar las pérdidas de cabezal en los sistemas de distribución de agua en la torre de enfriamiento y asegurar una distribución uniforme sobre el sistema de relleno, la velocidad de flujo en el cabezal de distribución del agua deberá ser mantenido debajo de 3.2 ft/seg . Si la velocidad de flujo en la entrada de la tubería de distribución del agua está limitada por 2.5 ft/seg , entonces la presión estática dentro de la tubería será esencialmente constante para toda la longitud de la tubería.

La carga de agua al relleno en GPM/ft^2 puede ser variada en áreas localizadas del sistema de relleno por ajustes de los tamaños de los orificios de las boquillas y las longitudes de las mismas. No es usual en las nuevas torres de enfriamiento cambiar varios tamaños de boquillas con el fin de entonar finamente el sistema de distribución del agua para un comportamiento óptimo desde el punto de vista térmico y una eficiencia térmica óptima.

CONCLUSIONES:

Principalmente en este trabajo se aborda el tema del análisis del comportamiento térmico de una torre de enfriamiento de tipo mecánico de tiro inducido, basado en la teoría de Merkel, siendo el método más usado para la caracterización de los procesos de transferencia de calor y masa, y aceptado por el instituto de torres de enfriamiento (CTI); Dicha información es una herramienta útil para calcular la relación líquido-gas (L/G), la relación característica de la torre (KaV/L) y los valores requeridos para alcanzar las condiciones de diseño específicas (aproximación y rango).

En esta tesis se describió cada uno de los pasos que conllevan al diseño de las torres de enfriamiento, en lugar de describir la forma de utilizar el software con que actualmente las compañías de diseño y fabricantes de estos equipos lo realizan, con el fin de no visualizar esta tecnología como una caja negra.

Esta información resulta ser práctica y eficiente para el diseño industrial de las torres de enfriamiento. El procedimiento es sencillo y cualquier estudiante o egresado de ingeniería química o mecánica lo podrá aplicar a partir del referido desarrollo. Se espera que este trabajo sirva como base para evaluar y analizar el diseño térmico de una torre de enfriamiento de tipo mecánico de tiro inducido.

BIBLIOGRAFÍA:

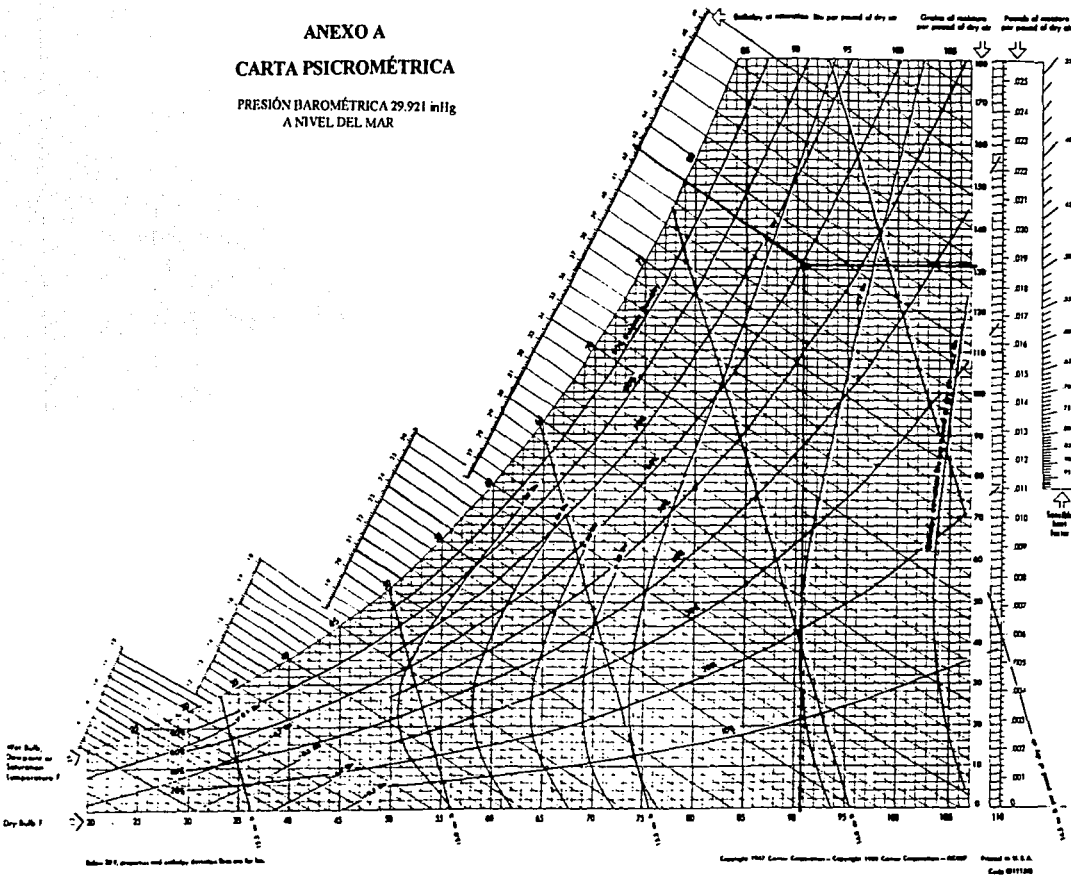
1. BARMAN, L.D.- "Evaporative Cooling of Circulating Water" Pergamon New York 1961.
2. BRENTWOOD INDUSTRIES, INC. "Cooling Tower Application Reference", USA, 1998.
3. BURGER ROBERT. "Cooling Tower technology", 3 Ed. USA, The Fairmont Press, Inc, 1995.
4. COMPANY MARLEY, " Cooling Tower Fundamentals " 2º Ed. USA, 1985.
5. COOLING TOWER INSTITUTE " Comparative Evaluation of Countercflow Cooling Tower Fills". USA, CTI Buletín TP88-05 Feb. 1988.
6. COOLING TOWER INSTITUTE " Effect of Altitude on Cooling Tower Rating and Performance", USA, CTI Buletin TPR-125 July 1962.
7. COOLING TOWER INSTITUTE. " Performance Analysis", USA CTI Buletin ATP-127 June 1963.
8. COOLING TOWERS INSTITUTE. "Cooling Towers Manual", USA, January 1977.
9. COOLING TOWER INSTITUTE. "CTI Code Towers: Standard Specifications", USA, CTI Code ATC-105, February 1990.
10. FOUST A.S. Y COL. "Principios de Operaciones Unitarias", 12º Ed. México: C.E.C.S.A. 1979.
11. FRANK KREITH, "Thermal engineering", USA, CRC Press LLC, 2000.
12. KERN, DONALD Q. "Procesos de Transferencia de Calor", Compañía Editorial Continental, S.A., 1965.

13. LUDWING, ERNEST E.- "Applied Process Desing for Chemical and Petrochemical Plants", Gulf Publishing Company, volúmenes 1 y 2 1965.
14. MIKLVERY K.K. AND M. BROOKE.- "The industrial cooling Tower Elserier, Amsterbam 1959.
15. PERRY, ROBERT H., CECIL H. CHILTON.- "Manual del Ingeniero Químico", 5^a Ed. México: Mc Granw Hill, 1982.
16. SMIT J. C. AND HARRIOTT P, "Unit Operations of Chemical Engineering, 4 Ed. McGraw-Hill, New York, 1985.
17. TREYBAL ROBERT H.- "Operaciones con Transferencia de Masa", 2^a Ed. México: Mc Granw Hill, 1981.

ANEXOS:

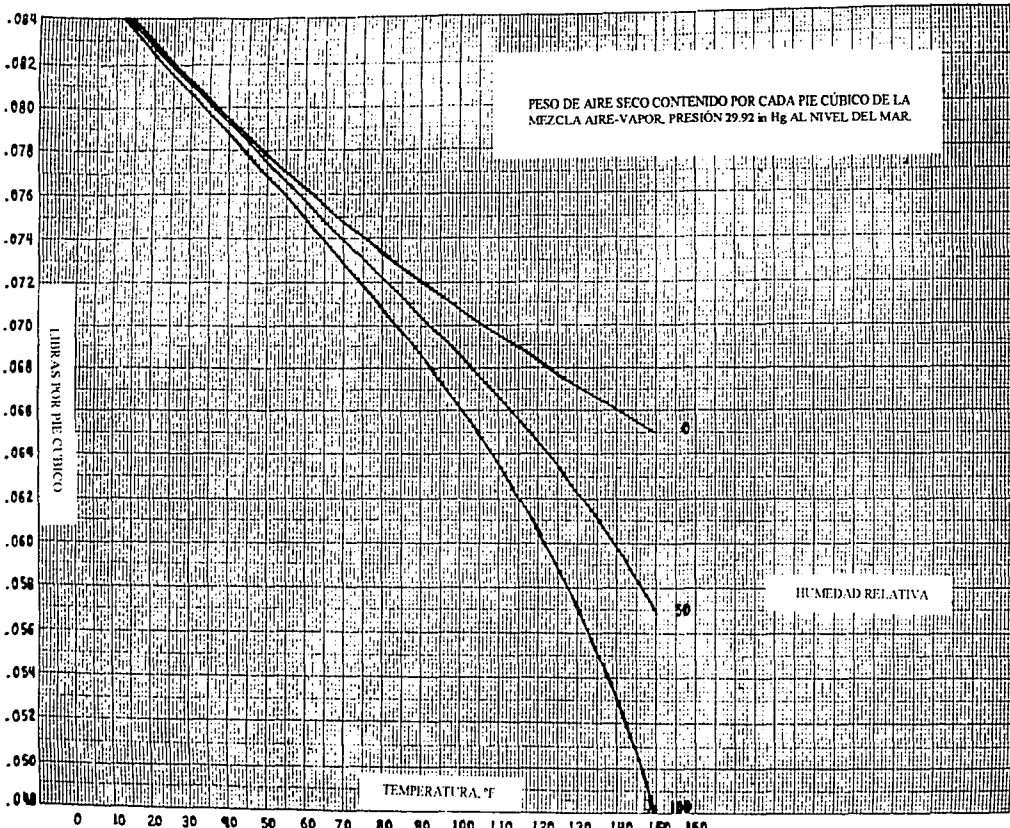
- A. Carta psicrométrica.
- B. Gráfica de la densidad del aire seco.
- C. Gráfica de la densidad del vapor.
- D. Propiedades del aire saturado.
- E. Tabla: Entalpía de la mezcla aire saturado-vapor de agua a 29.921 in Hg.
- F. Tabla: Entalpía de la mezcla aire saturado-vapor de agua a varias altitudes.
- G. Tabla: Densidad de la mezcla aire saturado-vapor de agua a 29.921 in Hg.
- H. Tabla: Densidad de la mezcla aire saturado-vapor agua a varias altitudes.
- I. Tabla: Volumen específico de la mezcla aire saturado-vapor de agua a 29.921 in Hg.
- J. Tabla: Volumen específico de la mezcla aire saturado-vapor de agua a varias altitudes.
- K. Tabla: Vapor de agua contenido en la mezcla aire saturado-vapor de agua al nivel del mar.
- L. Tabla: Vapor de agua contenido en la mezcla aire saturado-vapor de agua a varias altitudes.

ANEXO A
CARTA PSICROMÉTRICA
PRESIÓN BAROMÉTRICA 29.921 inHg
A NIVEL DEL MAR



ANEXO B

GRÁFICA DE LA DENSIDAD DEL AIRE SECO



TECNIS CON
FALLA DE ORIGEN

ANEXO C
GRÁFICA DE LA DENSIDAD DEL VAPOR

